

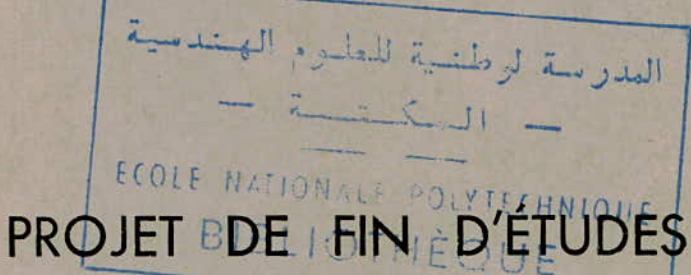
UNIVERSITÉ D'ALGER

1/76

ÉCOLE NATIONALE POLYTECHNIQUE

EX

DEPARTEMENT MECANIQUE



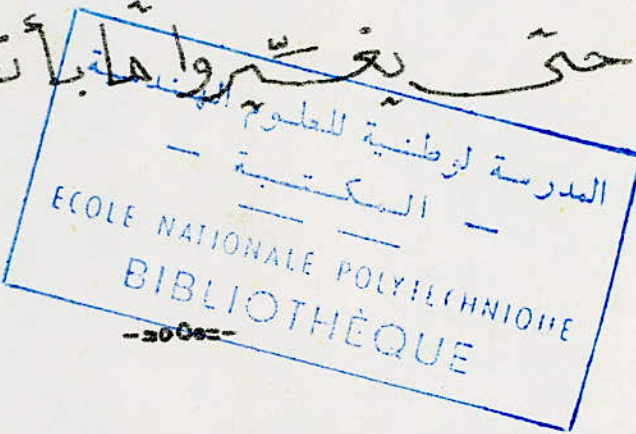
CHAMBRE DE COMBUSTION
A TROUS MIXTES

PROPOSE PAR
M. J.P. MULLER

ETUDIE PAR
M. BAHI.L.

بِسْمِ اللَّهِ الرَّحْمَنِ الرَّحِيمِ

إِنَّ اللَّهَ لَا يُغَيِّرُ مَا بِقَوْمٍ
حَتَّى يُغَيِّرُوا هُنَّا نَعْلَمُ أَنَّهُمْ
صَدَقُوا إِذْنَ اللَّهِ الْعَظِيمِ



"DIEU NE CHANGE RIEN A L'ETAT D'UN PEUPLE AVANT QUE
CELUZ-CI N'AIT ACCOMPLI SA PROPRE TRANSFORMATION." (1)

(Coran : XII, 12)

(1) "Autrement dit : toute véritable renaissance ne peut se faire qu'en changeant l'homme (prise de conscience et volonté de changement de chacun.)

NOS REMERCIEMENTS A M. J. P. MULLER ET A TOUS LES PROFESSEURS
QUI ONT CONTRIBUE A NOTRE FORMATION , EN PARTICULIER M. MATTON

T A B L E D E M A T I E R E
-o-o-o-o-o-o-o-o-o-o-o-

I - AVANT-PROPOS

II - BUT

III - GENERALITES SUR LA CHAMBRE DE COMBUSTION

IV - CARACTERISTIQUES DES TUBES A FLAMME

- A TROUS CIRCULAIRES
- A TROUS MIXTES

V - PLAN DE CALCUL

VI - CHAMBRE A TROUS CIRCULAIRES

- ESSAIS
- DEPOUILLEMENT
- TRACES DES COURBES $T_b = f(\phi)$
- CARTES DE REPARTITION DES TEMPERATURES
- COMMENTAIRES

VII - CHAMBRE A TROUS MIXTES

- ESSAIS
- DEPOUILLEMENT
- TRACES DES COURBES $T_b = f(\phi')$
- CARTES DE REPARTITION DES TEMPERATURES
- COMMENTAIRES

VIII - PERTES DE CHARGES

- METHODES DE CALCUL
- C-C A TROUS CIRCULAIRES
- C-C A TROUS MIXTES

IX - CONCLUSION : ETUDE COMPARATIVE DES 2 CHAMBRES

X - ANNEXE I : CALCUL THEORIQUE DES PERTES THERMIQUES

XI - ANNEXE II : CALCUL THEORIQUE DU MACH DANS LA ZONE PRIMAIRE

A V A N T - P R O P O S

Depuis six ans au moins on commence à envisager de remplacer le carburateur classique existant dérivé du pétrole qui d'ailleurs se rarifie de plus en plus, par un hydrocarbure extrêmement abondant dans la nature : le méthane ou du moins le gaz naturel à forte proportion de méthane (les statistiques du 1^o janvier 1974 attribuent au G-N des réserves mondiales de 50.000 milliards de m³. Ces dernières atteignent actuellement presque 69.000 milliards de m³).

Les hydrocarbures, pétrole et G-N pourvoient actuellement pour les 2/3 à l'approvisionnement en énergie du monde.

Admettons qu'un développement rapide de la fourniture d'énergie par voie nucléaire puisse se produire, il n'en reste pas moins vrai que les hydrocarbures devront fournir plus de 55% de l'accroissement de la demande en énergie jusqu'aux années 2000. D'autre part, le G-N s'avère bien un combustible non polluant répondant à la crise de la pollution atmosphérique dans le monde industriel qui a atteint des niveaux très élevés, nuisibles aussi bien pour la vie humaine que végétale.

C'est vers cet hydrocarbure que des recherches poussées sont orientées de nos jours en apportant des résultats concluants.

Sous forme gazeux, dans les conditions normales, le méthane ou G-N ne peut être envisagé dans le domaine aéronautique que sous sa forme cryogénique (- 162°C).

Son intérêt sous cette forme réside essentiellement :

- dans pouvoir calorifique plus élevé que les carburants utilisés
- dans sa capacité d'absorption de la chaleur beaucoup plus importante que celle du kérozène .
- son prix à bon marché.

B U T

Le remplacement dans les applications aéronautiques du kérozène par le G-N ne nécessiterait-il pas une nouvelle conception des chambres de combustion.?

Plusieurs essais déjà entrepris ont donné des résultats positifs et concluants en adoptant les chambres utilisant le kérozène, au G-N.

Le but de notre étude au G-N consiste à :

étudier une chambre de combustion tubulaire utilisant séparément 2 tubes de flammes l'un à trous circulaires et l'autre à trous mixtes et à en faire l'étude comparative, l'analyse des gaz de combustion étant l'un des moyens les plus déterminants.

LA CHAMBRE DE COMBUSTION

Partie vitale du turboréacteur, la chambre de combustion est le lieu de transformation de l'énergie chimique en énergie calorifique d'où découlent essentiellement la puissance nécessaire à l'entraînement du compresseur et la puissance propulsive.

On conçoit donc aisément l'importance que l'on doit attacher à l'étude des chambres de combustion.

D'une façon générale, il existe trois types de chambres de combustion:

- tubulaire
- annulaire
- mixte

Dans notre cas on a à étudier une chambre tubulaire à injection à pré-vaporisation.

En théorie, le calcul des températures atteintes lors de la combustion (G-N-air) et des valeurs de concentration des produits de combustion, est fait en supposant par hypothèse la combustion idéale autrement dit un foyer parfait où :

- la transformation est isobare (la combustion se fait à pression constante)
- l'écoulement est permanent (la combustion se propage continûment)
- la transformation est adiabatique (les pertes de chaleur sont nulles)
- les enthalpies sont calculées à la mme température de référence (0°K)

Pour les raisons de cinétique et de résistance des matériaux, il est nécessaire de partager l'air pénétrant dans la chambre en fraction

- primaire : 13%

- secondaire

- tertiaire

} 15%

} 62%

dilution

- muft 10%

Valeurs adoptées généralement par les constructeurs.

On rappelle que seul l'air primaire participe à la combustion proprement dite car si la combustion est rapportée à la totalité de l'air sortant du compresseur la température s'élèverait aux environs de 2000°C ce qui est excellent pour le rendement ; or la température à la sortie de la chambre ne doit guère dépasser 1370°K au grand max. pour éviter la destruction de la turbine à haute température : ceci pour une question de résistance des matériaux.

Aussi doit-on refroidir les gaz de combustion pour abaisser leur température à des **valeurs** admissibles ; cela entraîne une perte de poussée **inévitable**. La température atteinte dans la chambre de combustion est d'ailleurs limitée par le phénomène de dissociation des produits de combustion en molécules plus simples et même en atomes avec forte absorption de chaleur. D'autre part il importe que l'écoulement à la sortie de la zone primaire soit assez homogène pour que la fonction de dilution puisse se réaliser correctement et assurer une bonne répartition de température à l'entrée de la turbine cette fonction de dilution est assurée par l'air secondaire et tertiaire 77%. Leur pénétration doit se faire de façon à ne pas entraver la combustion d'une part et obtenir un mélange à température bien répartie face à la turbine. L'air secondaire et tertiaire permettent la recirculation des gaz brûlés et la différence de vitesses entre ces

gaz recirculés et l'air entrant réalise le mélange par transferts turbulents assurant l'homogénéité de la température. La turbulence étant nécessaire pour que la réaction se fasse dans un temps minimum (quelques millisecondes). Pour ne pas gêner encore la combustion. L'air froid ne doit pas être introduit trop tôt sinon refroidissant les gaz en combustion, il augmente le temps nécessaire à celle-ci et les imbrûlés sortiraient alors de la chambre devenue trop courte. L'air du Muft permet quant à lui d'assurer le refroidissement continu du tube à flamme (en plus de l'air de dilution).

Le tube à flamme représente la pièce maîtresse de la chambre de combustion. Il est constitué par une paroi continue percée d'orifice dont la forme, le nombre et l'emplacement tout autour du tube sont d'une importance capitale. On souligne que le nombre d'orifices (ou du moins leur section totale) est limitée et déterminée par le débit d'air et par la résistance du tube. L'expérience, quant à elle détermine la meilleure forme et le meilleur emplacement de ces orifices.

L'état de combustion peut être défini, à partir de l'analyse des gaz de combustion et de la mesure des températures et des quantités d'air et de G-N utilisés dans la combustion.

Pour la détermination de ces quantités on a utilisé:

a/ Pour l'analyse des gaz, deux analyseurs à infra-rouge pour la détection et la mesure du CO_2 et du CO et un analyseur paramagnétique pour l' O_2 .

Leur utilisation nécessite un étalonnage précis. On fait remarquer que leur mise en marche doit être effectuée bien avant leur utilisation d'au moins deux heures.

L'étalonnage consiste en 3 opérations:

- un tarage à l'aide de l'azote (N_2) gaz neutre
- un étalonnage proprement dit à l'aide des gaz CO_2 , CO et O_2 de concentrations connues.
- un tracé des courbes d'étalement permettant la détermination directe des % de CO_2 , CO et O_2 dans les gaz de combustion.

La détermination du rendement de combustion devient particulièrement aisée en mesurant:

- le CO_2 réel : concentration de CO_2 existant réellement dans les gaz de combustion
- le CO_2 total : concentration de CO_2 qui devrait exister si la combustion était totale et parfaite.

Le CO_2 total est obtenu à partir d'une oxydation éventuelle des imbrûlés dans un four contenant de l'oxyde de cuivre, plus un catalyseur porté à une température d'environ 300°C . En négligeant les dissociations, ce qui est notre cas aux températures considérées qui ne dépassent guère 2000°C , le rendement de combustion est défini par l'expression

$$\eta_L = \frac{\text{CO}_2 \text{ réel}}{\text{CO}_2 \text{ total}}$$

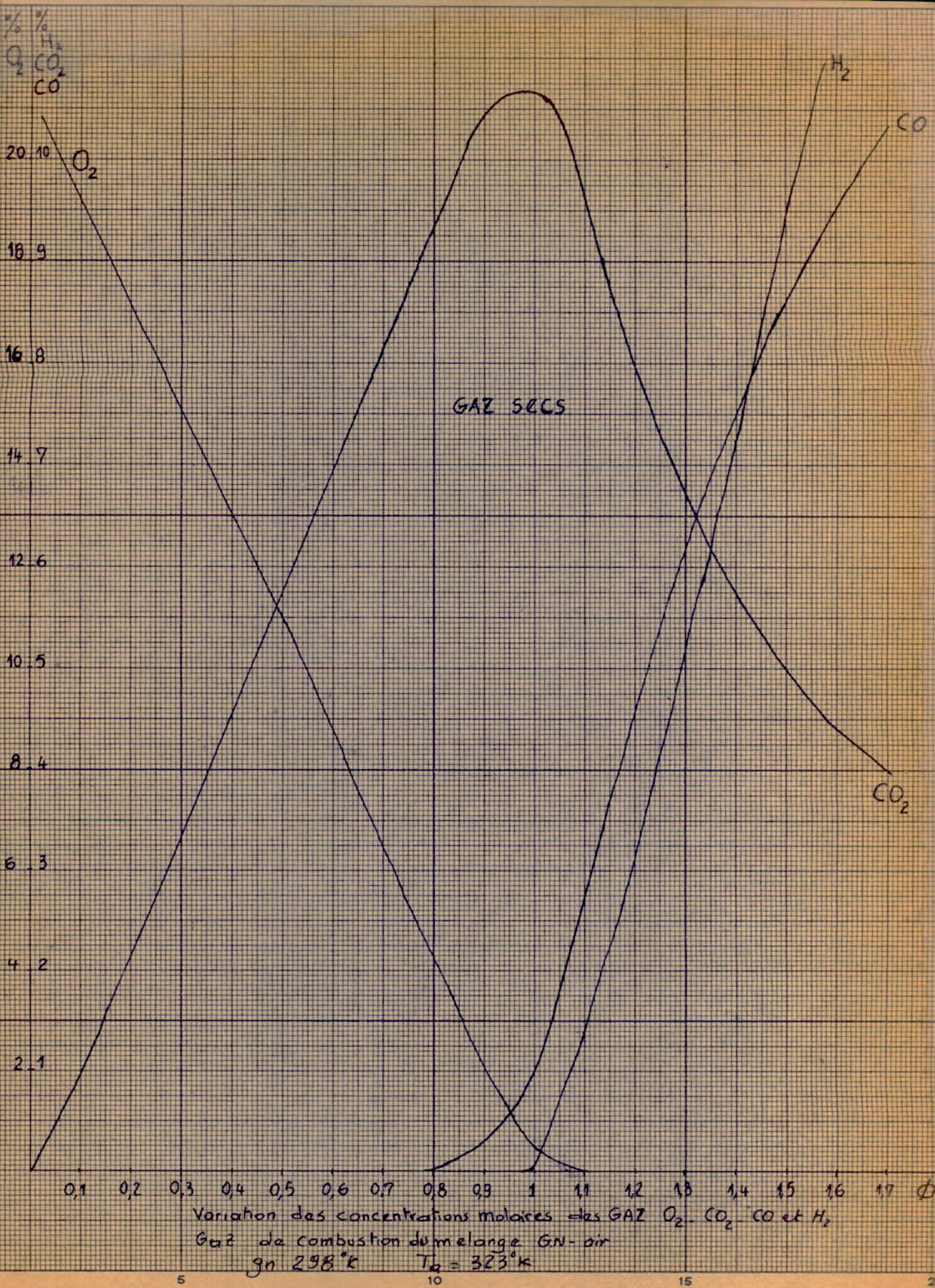
b/ Les températures sont mesurées au moyen d'un thermo-couple en platine platine-rhodiée 10% ayant la possibilité de mesurer des T° élevées, placé sur une sonde en inox refroidie pouvant se mouvoir suivant les axes horizontal et vertical et assurant la prise des gaz de combustion.

L'analyse des gaz et la mesure des températures d'air à la sortie du compresseur en fonction des débits d'air et de G-N, permettent le tracé des différentes courbes de T° et de rendement en fonction de la richesse :

ϕ' : richesse locale déterminée à partir de la concentration du CO₂ dans les gaz de combustion et du diagramme
 $CO_2 = f(\phi')$

T_b : température théorique obtenue à partir du diagramme Enthalpie-richesse.

Les résultats obtenus permettent non seulement de juger de l'évolution de la combustion mais aussi d'expliquer le processus de combustion Du G-N et d'effectuer une comparaison avec la théorie.



Variation des concentrations molaires des GAZ O_2 - CO_2 - CO et H_2

Gaz de combustion du mélange GN-air

gn 298°K $T_b = 323^{\circ}\text{K}$

PLAN DE CALCUL

Pour le dépouillement des résultats expérimentaux on a utilisé principalement les relations ci-dessous dont les détails de calcul ont été faits lors de travaux pratiques.

1°/ Masse volumique du gaz naturel (kg/m³)

$$\boxed{\rho_{GN} = P_{GN} / rT_{GN}}$$

avec :

- P_{GN} = pression absolue du G-N en N/m²

- r = constante du G-N = 440 J/kg. °K

- T_{GN} = température du G-N en °K

2°/ Masse volumique de l'air (kg/m³)

$$\boxed{\rho_{air} = \rho_0 \frac{T_0}{T_a} \frac{P_a}{P_0}}$$

avec :

- ρ_0 = masse volumique de l'air aux conditions standards
= 1,293 kg/m³

- T_0 = 273°K

- P_0 = pression atmosphérique standart = 760 mm Hg

- P_a = pression atmosphérique ambiante en mm Hg

- T_a = température ambiante en °K

3°/ Débit du gaz naturel :

a-- préchauffe :

$$\boxed{m_{gn.cp} = 1,398 \cdot 10^{-4} (\rho_{eau} \cdot \Delta H \cdot \rho_{gaz})^{0,5}}$$

avec :

- ρ_{eau} = masse volumique de l'eau en kg/m³

- ΔH = variation de pression du G-N cp en m H₂O

b- chambre de combustion :

$$m_{gn.cc} = 4,056 \cdot 10^{-4} (\rho_{eau} \cdot \Delta H \cdot \rho_{gaz})^{0,5}$$

avec : ΔH = variation de pression du G-N C.C en $m H_2O$

4°/ Débit d'air :

$$m_{air} = 0,08924 (\rho_{air} \cdot \Delta H \cdot \rho_{eau})^{0,5}$$

avec : ΔH = variation de pression de l'air due au venturi
en $m H_2O$

5°/ Richesse globale :

$$\varnothing_{globale} = \frac{C/A}{(C/A)_{st}}$$

C = débit masse du G-N en g/s

A = débit masse de l'air en g/s

$(C/A)_{st}$ = rapport de mélange stochiométrique = 0,065 pour le
gaz naturel

6°/ Richesse locale :

Elle est lue sur la courbe $a' CO_2 = f(\varnothing)$

7°/ Rendement de combustion :

$$\eta_{lb} = \frac{a' CO_2 \text{réel}}{a' CO_2 \text{total}}$$

N.B/

L'indice prime (a') exprime : sans dissociation .

HA M B R E D E OM B U S T I O N

R-I

RO U S D) Z I X T E S

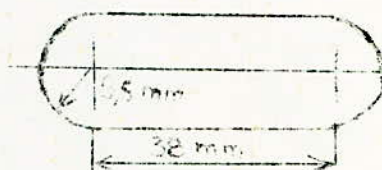
CARACTERISTIQUES DU TUBE DE FLAMME

A TROUS MIXTES

On a appellé ce tube de flamme "à trous mixtes" car il présente deux sortes de trous :

-trous circulaires de diamètre = 19 mm

-trous rectangulaires à bouts arrondis :



-Longueur totale :

$$L = 678 \text{ mm}$$

- Diamètre de sortie :

$$D = 180 \text{ mm}$$

Trous circulaires :

- 3 rangées de trous de diamètre = 19 mm

-8 trous par rangée

-Espace entre deux rangées consécutives = 19,5 mm

-La première rangée se trouve à 523 mm de la section de sortie

-La section totale des trous circulaires vaut :

$$S = 6801,24 \text{ mm}^2$$

-Trous à bouts arrondis :

-2 rangées

-8 trous par rangée

-Espace entre 2 rangées consécutives = 19 mm

-La première rangée se situe à 296 mm de la section de sortie

-La section totale des trous rectangulaires vaut :

$$S' = 12388 \text{ mm}^2$$

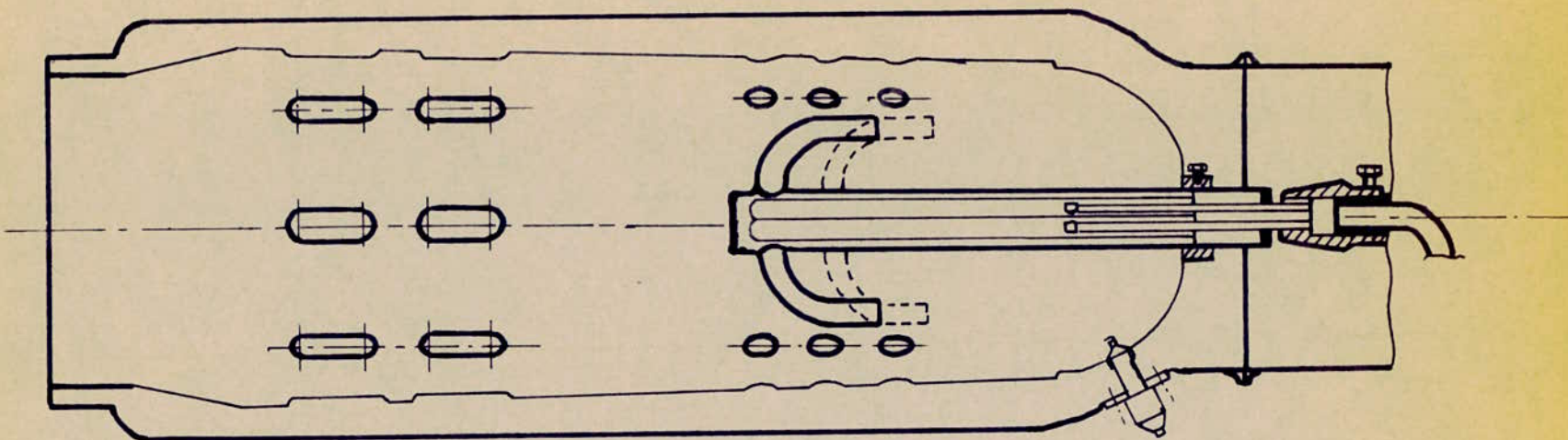
-La section totale des trous circulaires et rectangulaires est de :

$$S_t = S + S' = 19189,24 \text{ mm}^2$$

avec S' la section des trous rectangulaires :

$$S' = 12388 \text{ mm}^2$$

-La section approximative des fentes et des orifices constituant le primaire = 2070 mm^2



Echelle : 1/4	E - N - P - A
CHAMBRE DE COMBUSTION A TROUS MIXTES	23 - 2 - 76

B- CHAMBRE A TROUS MIXTES

Pour l'étude de cette chambre on a procédé comme pour la première à son exploration sur les mêmes sections :

- à la sortie (0 cm de profondeur)
- à 10 cm de profondeur
- à 20 cm de profondeur
- à 30 cm de profondeur
- à 35 cm de profondeur
- à 40 cm de profondeur
- à 42 cm de profondeur (juste en face de la rosace)
- sur une section coupant les bras de la rosace

En ce qui concerne les courbes $T_b = f(\varnothing')$, on a pratiquement le même phénomène que pour la première chambre au delà de 30 cm, les températures mesurées T_{bi} sont nettement inférieures aux T^o théoriques données par la courbe $T_b = f(\varnothing')$. L'écart allant de 500 à 900°C ; à la sortie de la chambre cet écart est de 50°C.

L'écart entre la richesse nocale et globale augmente avec la profondeur. A la sortie de la chambre, il est de l'ordre de 4% (sans l'utilisation d'un uniformiseur).

Degré d'uniformité de la T^o en fonction de la profondeur :

Si on tolère comme pour la première chambre un écart de T^o égal à 200°C sur chacune des sections on aura pour le même régime choisi ($\Delta H_{air} = 78 \text{ mm H}_2\text{O}$ et $\Delta H_{gncc} = 50 \text{ mm H}_2\text{O}$)

- section de sortie : 5/6 de la surface uniforme (420 - 620)
- à 10 cm de profondeur : 2/3 de la surface uniforme (410 - 610)
- à 20 cm de profondeur : 1/2 de la surface uniforme (1100 - 1300)
- à 30 cm de profondeur : 2/3 de la surface uniforme (1090 - 1290)
- à 35 cm de profondeur : 4/5 de la surface uniforme (1060 - 1260)
- à 40 cm de profondeur : 3/4 de la surface uniforme (940 - 1140)

- à 42 cm de profondeur : 2/3 de la section uniforme (940 - II40)

ON constate que la répartition des températures la plus uniforme se situe à la sortie de la chambre (5/6 de la surface), qu'elle est moyenne juste au milieu et assez uniforme à l'entrée (2/3 de la section). On rappelle que l'homogénéité de la température à l'entrée de la chambre est assez importante pour permettre à la fonction de dilution de s'exercer correctement.

La répartition des T° la plus homogène obtenue à la sortie de la chambre vient du fait d'une bonne distribution des airs secondaire et tertiaire à travers les orifices circulaires (secondaire) et rectangulaires (tertiaire). Ces derniers concentrent la flamme au centre de la section de sortie, c'est ce qui est remarqué sur les cartes de T° à la sortie.

Nous noterons ci-dessous la température maximum pour chaque section

- à la sortie de la chambre : Tmax = 860°C
- à 10 cm de profondeur : Tmax = 1070°C
- à 20 cm de profondeur : Tmax = 1360°C
- à 30 cm de profondeur : Tmax = 1290°C
- à 35 cm de profondeur : Tmax = 1360°C
- à 40 cm de profondeur : Tmax = 1300°C
- à 42 cm de profondeur : Tmax = 1300°C

En résumé, nous dirons qu'en fin de combustion, la répartition des températures est assez homogène (5/6 de la surface) et que la chute engendrée tout le long de la chambre est de l'ordre de 460° (chute entre les T° moyennes au niveau de la rosace et la sortie).

La présence d'un uniformiseur à la sortie augmente l'homogénéité des températures et assure celle des gaz de combustion avec une chute de T° de l'ordre de 100°; la température moyenne après l'uniformiseur est de 450°C environ.

Ci-dessous le tableau donnant le rendement de combustion moyen
les températures maximum et moyenne en fonction de la profondeur:

Profondeur	Tmax °C	Tmoy °C	Rendement moyen
section de sortie à 0 cm	860	548,1	0,985
section à 10 cm	1070	587	0,981
section à 20 cm	1360	907	0,966
section à 30 cm	1290	1115,5	0,908
section à 35 cm	1360	1091,1	0,791
section à 40 cm	1300	1135,7	0,711
section à 42 cm	1300	1007,5	-
section coupant les bras de la rosace	-	-	0,517

La dilution:

95% de la dilution sont assurés sur une longueur de la chambre de 30 cm : entre A et B , et ceci par les trous du tertiaire uniquement (trous rectangulaires). La fonction de dilution se termine juste à la sortie de la chambre. Les trous du secondaire (circulaires) n'assurent quant à eux que les 5 autres % .

Le même phénomène de chute de température au niveau de la rosace apparaît aussi pour cette chambre. Aussi on admettra les mêmes explications que pour la chambre à trous circulaires, voir fig $T_{moy} = f(1)$

Le rendement de combustion:

Le rendement moyen maximum est atteint juste à la sortie de la chambre ($\eta_b = 0,98$) . Il décroît d'une façon continue avec la profondeur. Il est de l'ordre de 0,5 au niveau de la rosace (même explication que pour la chambre à trous circulaires).

95% de la combustion sont obtenus juste avant les trous de l'air tertiaire. L'air secondaire assure à lui seul une augmentation nette du rendement de combustion de 0,5 à 0,93 environ; sa fonction de dilution étant de 5% ($T_b = f(1)$). On déduit donc que son rôle principal est la continuité de la combustion alors que le rôle essentiel de l'air tertiaire (trous rectangulaires) est la dilution des gaz chauds vu qu'il n'assure que 5% de la combustion (le rendement de combustion passant de 0,93 à 0,98) .

Remarques générales concernant la combustion/

La flamme de couleur bleue se situe à l'intérieur de la chambre, plus courte qu'une flamme de combustion au kérozène d'après des essais antérieurement réalisés.

L'allumage au G-N comprimé même sans préchauffe, est aisé (la bougie étant placée dans un point mort de la chambre où la vitesse des gaz est faible.)

On constate l'absence de fumée ainsi que le dépôt de carbone.

Date : 5 - 5 - 76

	CO_2	$\text{CO}_{0,5\%}$	$\text{CO}_{10\%}$	O_2
N_2				
$\text{CO}_2 \text{ 6\%}$	0,646mV			
$\text{CO} \text{ 63\%}$			7,1 mA	
$\text{CO} \text{ 94,97\%}$				
AIR				85,2

$P_A = 756,3$	mm Hg
$T_A = 20,5$	°C

- C-C SEULE SANS PRECHAUFFE
- SECTION DE SORTIE

$T_{\text{G.N.C.P.}}$	°C					
$P_{\text{G.N.C.P.}}$	bar rel					
$\Delta H_{\text{G.N.C.P.}}$	mm H_2O					
$T^{\circ} \text{ air compr.}$	°C	47,5	50,5	51	51	51
$T^{\circ} \text{ sonde}$	°C	920	550	570	530	640
$T^{\circ} \text{ Sortie}$	°C	630	630	630	630	630
$T^{\circ} \text{ G.N.C.C.}$	°C	18	18	18,5	18	18
$P_{\text{G.N.C.C.}}$	bar rel	9	9	9	9	9
$\Delta H_{\text{G.N.C.C.}}$	mm H_2O	50	50	50	50	50
$\Delta H_{\text{air Venturi}}$	mm H_2O	78	78	78	78	78
$a' \text{CO}_2 \text{ Total}$	mV	0,42	0,271	0,290	0,266	0,298
$a' \text{CO}_2 \text{ Peel}$	mV	0,418	0,270	0,286	0,263	0,294
$a' \text{CO}$	mA	1,09	1,08	1,08	1,08	1,08
$a' \text{O}_2$		55	68,8	67	69,5	66
$T^{\circ} \text{ Four}$	°C	510	510	510	510	510

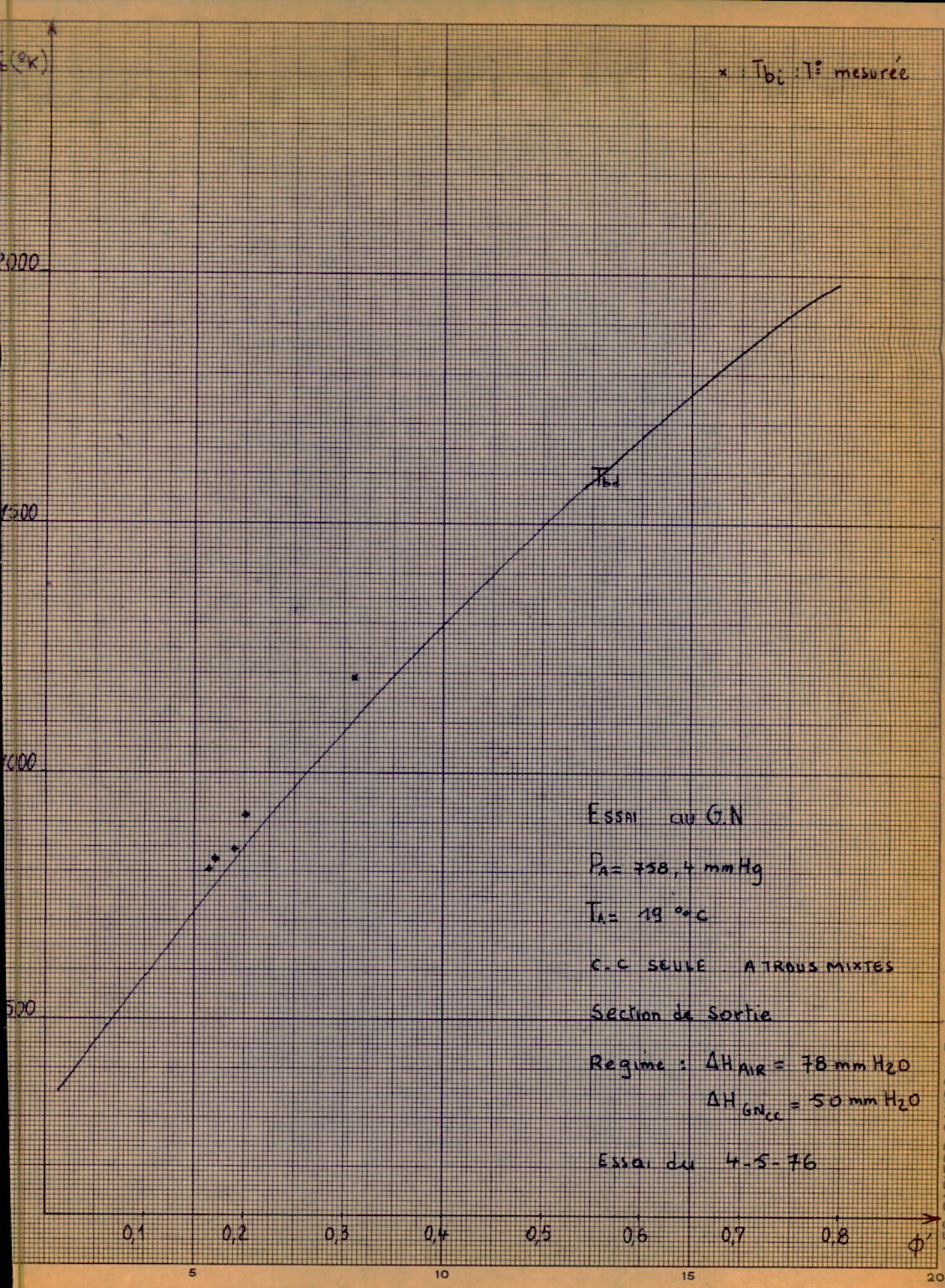


DATE: 5-5-76

DEPOUILLEMENT

SECTION DE SORTIE

$P_{GN.C.P}$	bar absolu					
$T_{GN.C.P}$	$^{\circ}K$					
$\rho_{GN.C.P}$	kg/m^3					
$\dot{m}_{GN.C.P}$	g/s					
$P_{GN.C.C.}$	bar absolu	10	10	10	10	10
$T_{GN.C.C.}$	$^{\circ}K$	291	291	290,5	290	290
$\rho_{GN.C.C.}$	kg/m^3	7,810	7,810	7,823	7,836	7,836
$\dot{m}_{GN.C.C.}$	g/s	8,015	8,015	8,021	8,028	8,028
T_{air}	$^{\circ}K$	320,5	323	324	324	324
ρ_{air}	kg/m^3	1,196	1,196	1,196	1,196	1,196
\dot{m}_{air}	g/s	862	862	862	862	862
T_{sonde}	$^{\circ}K$	2193	823	643	603	913
T_{sortie}	$^{\circ}K$	903	903	903	903	903
$a'CO_2r$	%	3,494	1,868	2,043	1,791	2,131
$a'CO_2T$	%	3,516	1,879	2,085	1,824	2,175
$a'CO$	%	0,094	0,083	0,083	0,083	0,104
$a'O_2$	%	13,75	17,2	16,75	17,375	16,50
ϕ_g	c/A $\frac{P_g}{P_s}$	0,143	0,143	0,143	0,143	0,143
ϕ_t	$a'CO_2$ $- P(\phi)$	0,31	0,17	0,19	0,169	0,20
η_c	$\frac{a'CO_{2r}}{a'CO_{2T}}$	0,993	0,994	0,978	0,981	0,979

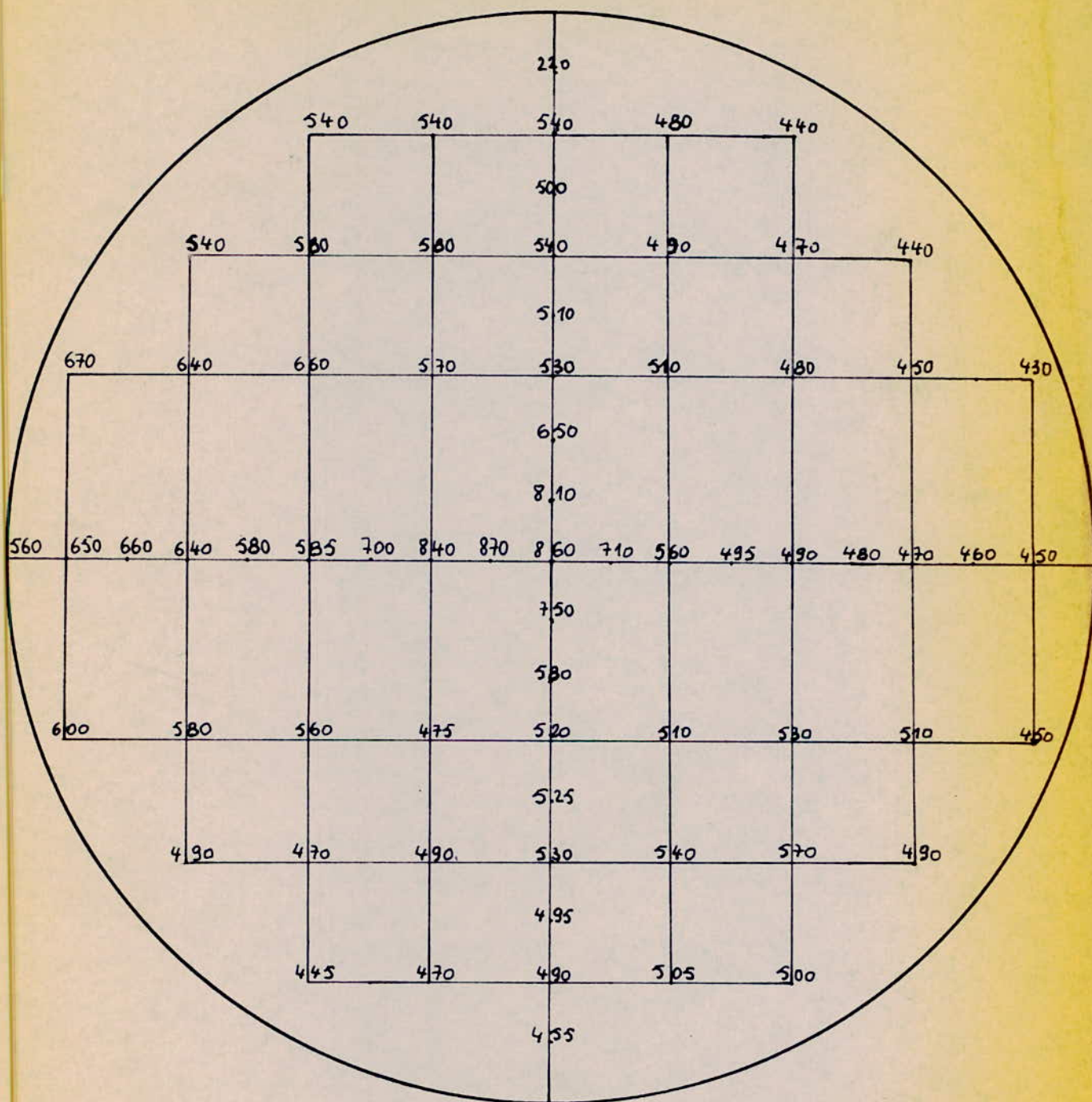


CHAMBRE DE COMBUSTION

A TROUS MIXTES

C.C seule

DATE : 4-5-76



Répartition des Températures (°c)

Section de sortie

Régime : $\Delta H_{Air} = 78 \text{ mm H}_2\text{O}$ $P_A = 758,4 \text{ mm Hg}$

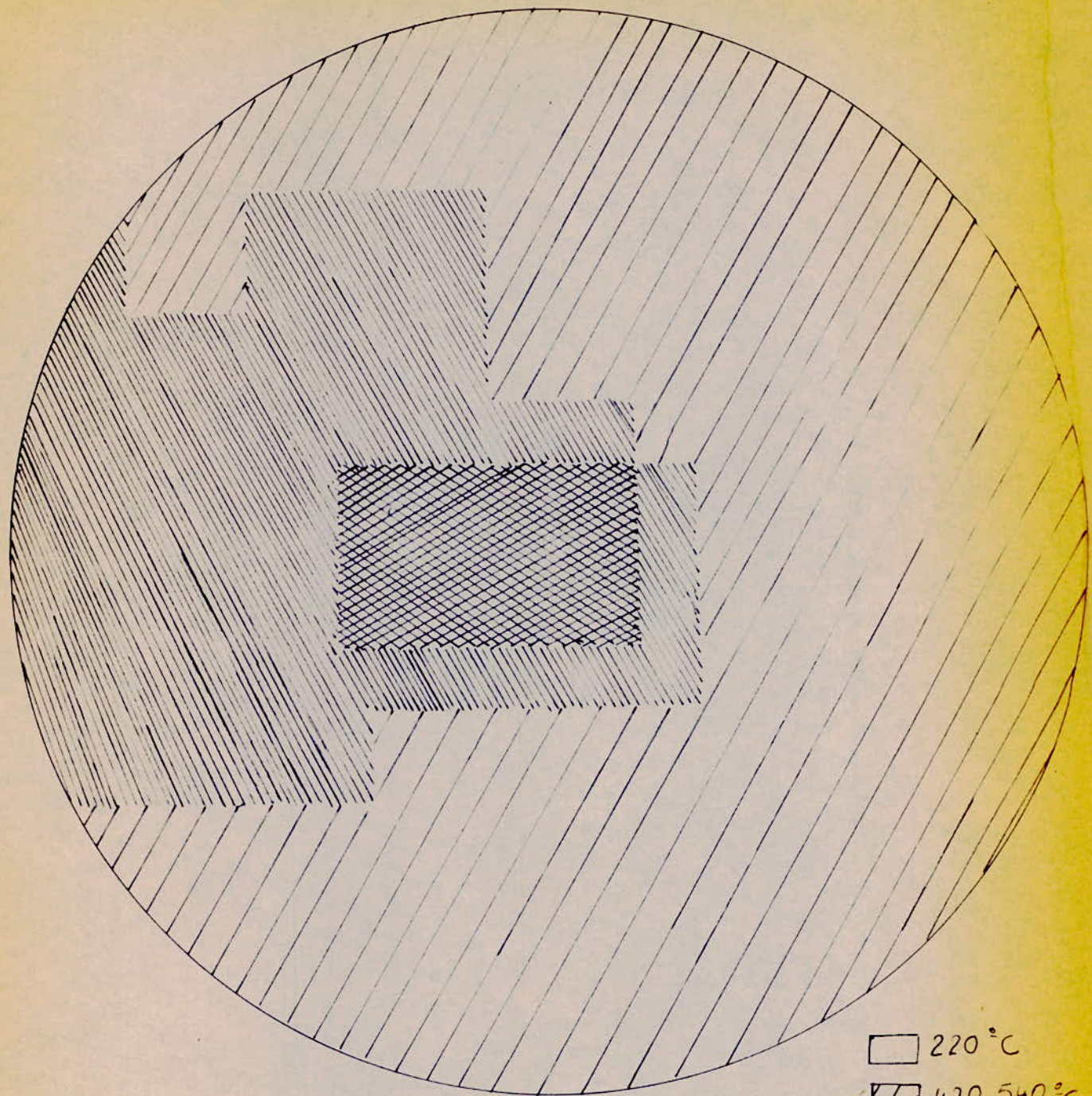
$\Delta H_{G.N} = 50 \text{ mm H}_2\text{O}$ $T_A = 19^\circ\text{C}$

CHAMBRE DE COMBUSTION

A TROUS MIXTES

C.C seule

DATE = 4-5-76



CARTE DE REPARTITION DES TEMPERATURES

Section de Sortie

□	220 °C
/\	420-540 °C
■■■	540-660 °C
■■■■■	660-860 °C

Régime : $\Delta H_{AIR} = 78 \text{ mm H}_2\text{O}$ $P_A = 758,4 \text{ mm Hg}$
 $\Delta H_{GN} = 50 \text{ mm H}_2\text{O}$ $T_A = 19^\circ\text{C}$

Date : 5 - 5 - 76

	CO_2	$\text{CO}_{0.5\%}$	$\text{CO}_{10\%}$	O_2
N_2				
$\text{CO}_2 \ 6\%$	0,646 mV			
$\text{CO} \ 6.3\%$			7,1 mA	
$\text{CO} \ 0.49\%$				
AIR				83,2

$P_A = 756,3$	mm Hg
$T_A = 20,5$	°C

- C-C SEULE SANS PRECHAUFFE
- SECTION A 10 CM DE PROFONDEUR

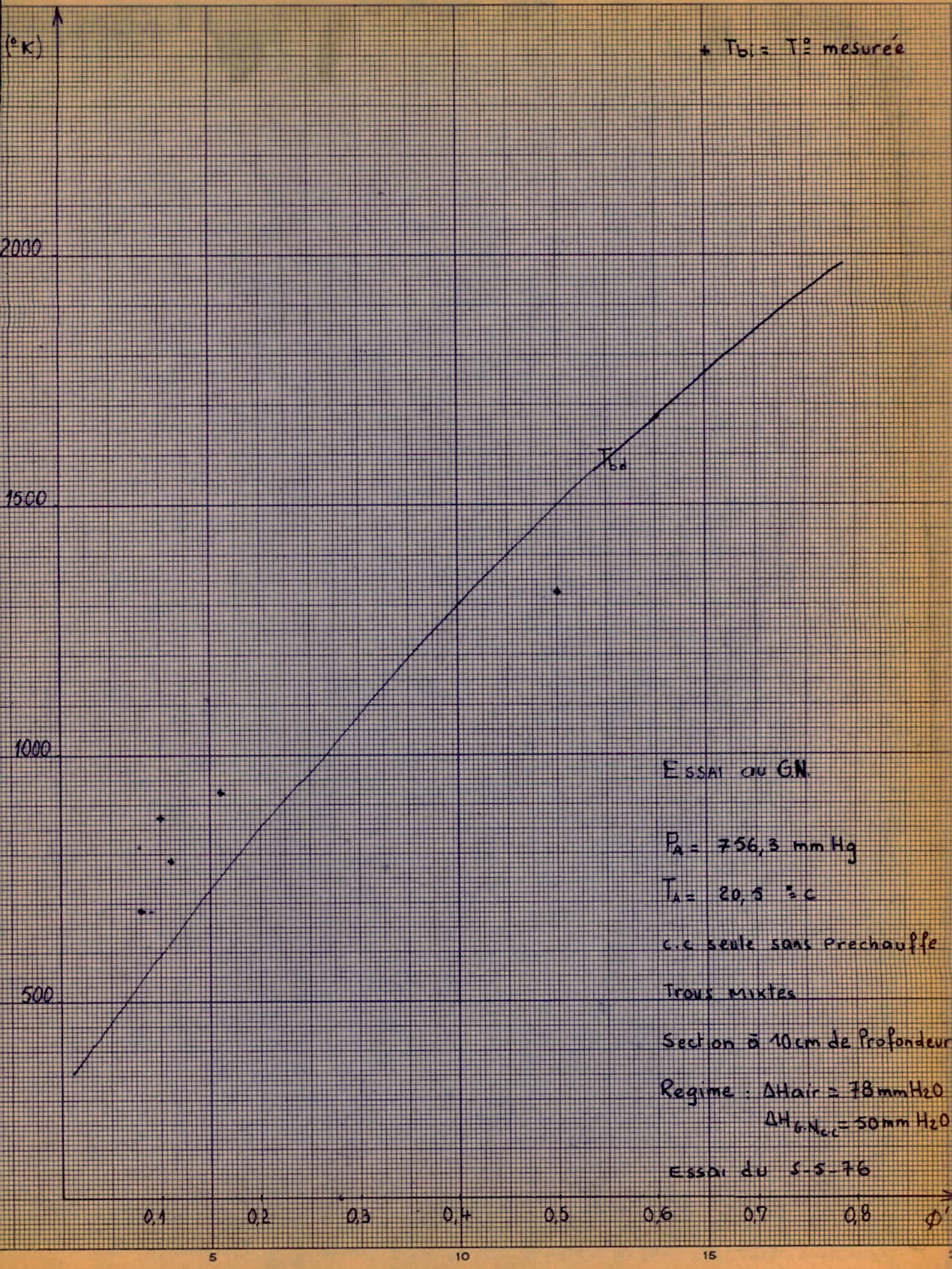
$T_{\text{G.N.C.P.}}$	°C					
$P_{\text{G.N.C.P.}}$	bar rel.					
$\Delta H_{\text{G.N.C.P.}}$	mm H_2O					
$T^{\circ}\text{ AIR COMP.}$	°C	51	51	51	51	51
$T^{\circ}\text{ SONDE}$	°C	1050	410	515	600	650
$T^{\circ}\text{ Sortie}$	°C	630	630	630	630	630
$T^{\circ}\text{ G.N.C.C.}$	°C	17	17	17	17	17
$P_{\text{G.N.C.C.}}$	bar rel	9	9	9	9	9
$\Delta H_{\text{G.N.C.C.}}$	mm H_2O	50	50	50	50	50
$\Delta H_{\text{Air Venturi}}$	mm H_2O	78	78	78	78	78
$a' \text{CO}_2 \text{Total}$	mV	0,62	0,183	0,205	0,200	0,262
$a' \text{CO}_2 \text{reel}$	mV	0,618	0,181	0,206	0,198	0,260
$a' \text{CO}$	mA	1,14	1,09	1,1	1,1	1,12
$a' \text{O}_2$		34,8	77	75	76	70
$T^{\circ}\text{ Four}$	°C	500	500	500	500	500



DATE / 5-5-76
SECTION A 10 CM DE
PROFONDEUR

DEPOUILLEMENT

P _{G.N.C.P.}	bar absolu						
T _{G.N.C.P.}	°K						
ρ _{G.N.C.P.}	kg/m ³						
ṁ _{G.N.C.P.}	g/s						
P _{G.N.C.C.}	bar absolu	10	10	10	10	10	
T _{G.N.C.C.}	°K	290	290	290	290	290	
ρ _{G.N.C.C.}	kg/m ³	7,836	7,836	7,836	7,836	7,836	
ṁ _{G.N.C.C.}	g/s	8,028	8,028	8,028	8,028	8,028	
T _{air}	°K	324	324	324	324	324	
ρ _{air}	kg/m ³	1,196	1,196	1,196	1,196	1,196	
ṁ _{air}	g/s	862	862	862	862	862	
T _{sonde}	°K	523	583	788	873	923	
T _{sortie}	°K	903	903	903	903	903	
a'CO ₂ r	%	5,692	0,8906	1,164	1,076	1,758	
a'CO ₂ T	%	5,714	0,912	1,197	1,098	1,780	
a'CO	%	0,146	0,093	0,104	0,104	0,125	
a'O ₂	%	8,7	19,25	18,75	19	17,5	
Φ _a	c/A g/s	0,143	0,143	0,143	0,143	0,143	
Φ _t	a'CO ₂ - p(Φ)	0,5	0,06	0,11	0,10	0,16	
η _c	a'CO _{2r} a'CO _{2T}	0,996	0,975	0,972	0,979	0,987	

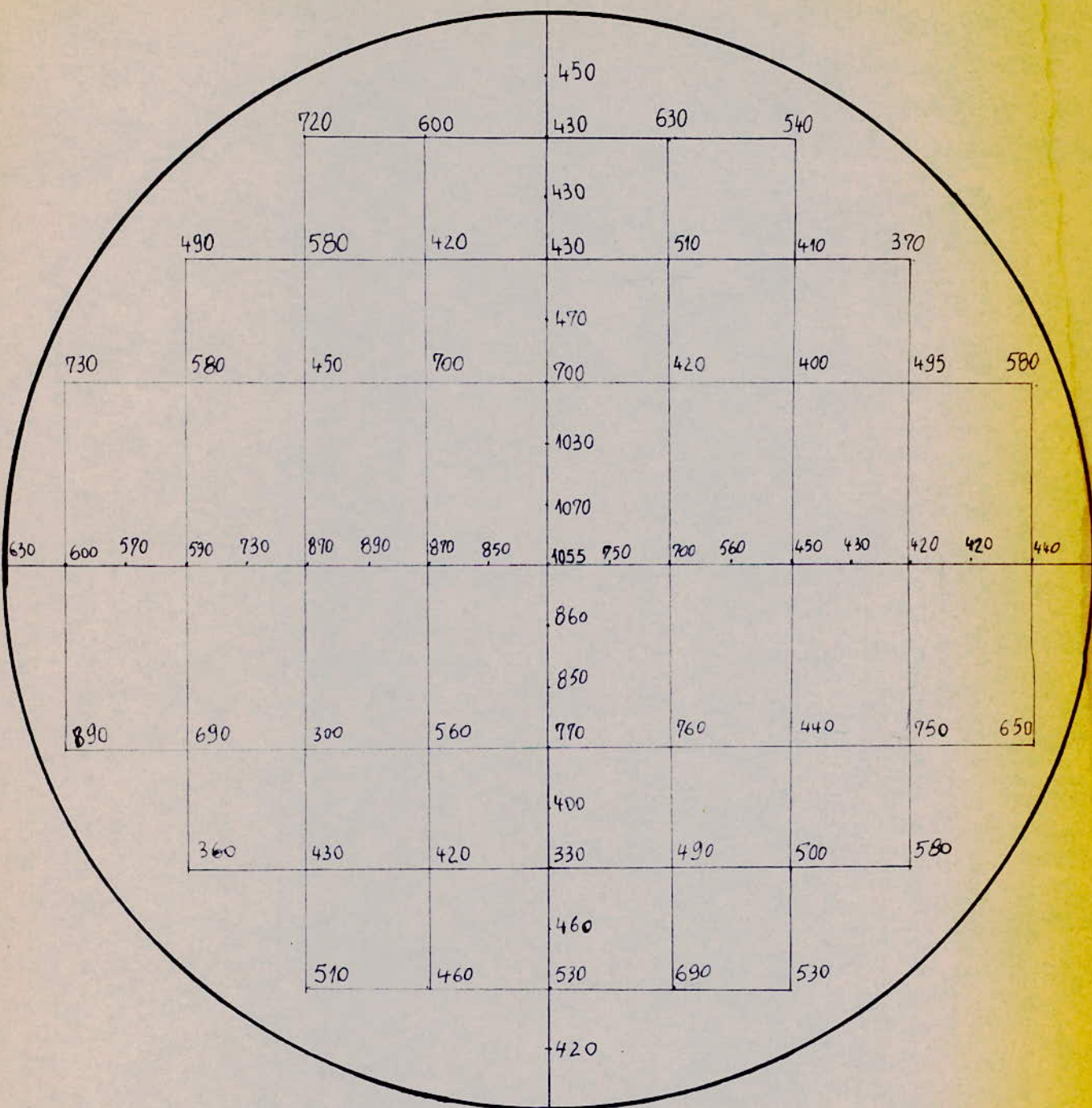


CHAMBRE DE COMBUSTION

a trous mixtes

C.C. Scute

5.5.76



Repartition des températures (°C)

Section à 10 cm de profondeur

Régime : $\Delta H_{air} = 78 \text{ mm H}_2\text{O}$

$P_A = 756,3 \text{ mm Hg}$

$\Delta H_{GNCC} = 50 \text{ mm H}_2\text{O}$

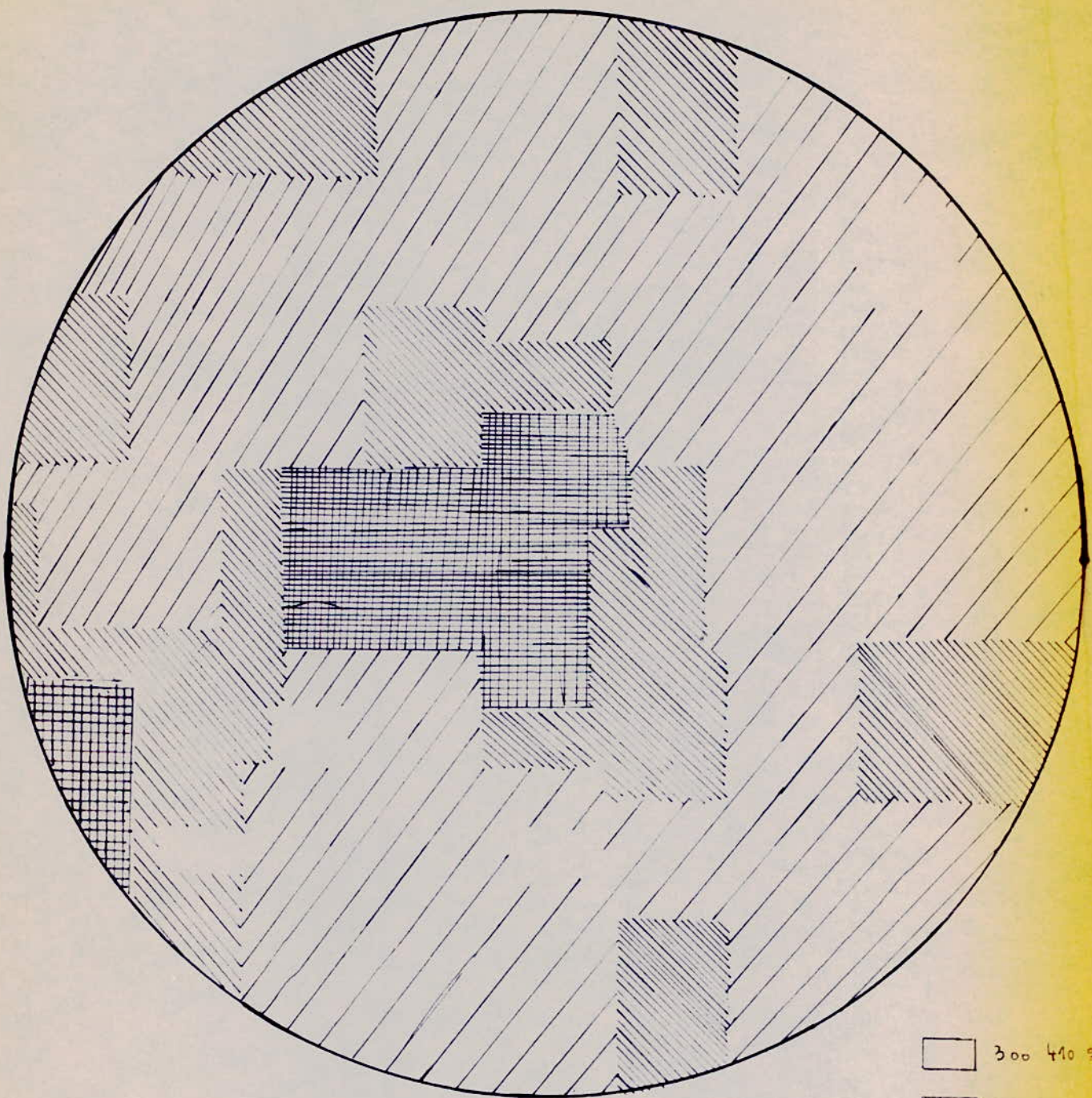
$T_A = 20,5^\circ\text{C}$

CHAMBRE DE COMBUSTION

A TROUS MIXTES

C.C. Seule

5-5-76



Carte de Répartition des Températures

Section à 10 cm de profondeur

Régime: $\Delta H_{air} = 78 \text{ mm H}_2\text{O}$

$\Delta H_{GNCC} = 50 \text{ mm H}_2\text{O}$

$P_A = 756,3 \text{ mmHg}$

$T_A = 20,5^\circ\text{C}$

□	300 - 410 °C
/\	410 - 610 °C
■	610 - 810 °C
■■■	810 - 1070 °C

Date : 6 - 5 - 76

	CO_2	$\text{CO}_{0.5\%}$	$\text{CO}_{10\%}$	O_2
N_2				
$\text{CO}_2 \text{ } 6\%$	0,642 mv			
$\text{CO } 6.37\%$			7 mA	
$\text{CO } 9.49\%$				
AIR				83,2

$P_A = 755$	mm Hg
$T_A = 22$	°C

- C-C SEULE SANS PRECHAUFFE
 - SECTION ▲ 20 CM DE PROFONDEUR

$T_{\text{GN.C.P.}}$	°C					
$P_{\text{GN.C.P.}}$	bear rel					
$\Delta H_{\text{GN.C.P.}}$	mm H_2O					
$T^{\circ} \text{ air COMP.}$	°C	50	51	52	52	51
$T^{\circ} \text{ sonde}$	°C	1150	1210	1050	1100	1280
$T^{\circ} \text{ Sortie}$	°C	620	620	620	620	620
$T^{\circ} \text{ GNCC}$	°C	19	19,5	19	17	17
$P_{\text{GNCC.}}$	bear rel	9	9	9	9	9
$\Delta H_{\text{GNCC.}}$	mm H_2O	50	50	50	50	50
$\Delta H_{\text{air Venturi}}$	mm H_2O	78	78	78	78	78
$a' \text{CO}_2 \text{ Total}$	mV	0,672	0,715	0,628	0,655	0,83
$a' \text{CO}_2 \text{ reel}$	mV	0,66	0,69	0,62	0,645	0,78
$a' \text{CO}$	mA	0,21	0,15	1,08	1,15	1,53
$a' \text{O}_2$		29,5	24,5	35	32,5	15,5
$T^{\circ} \text{ Four}$	°C	420	420	420	420	420

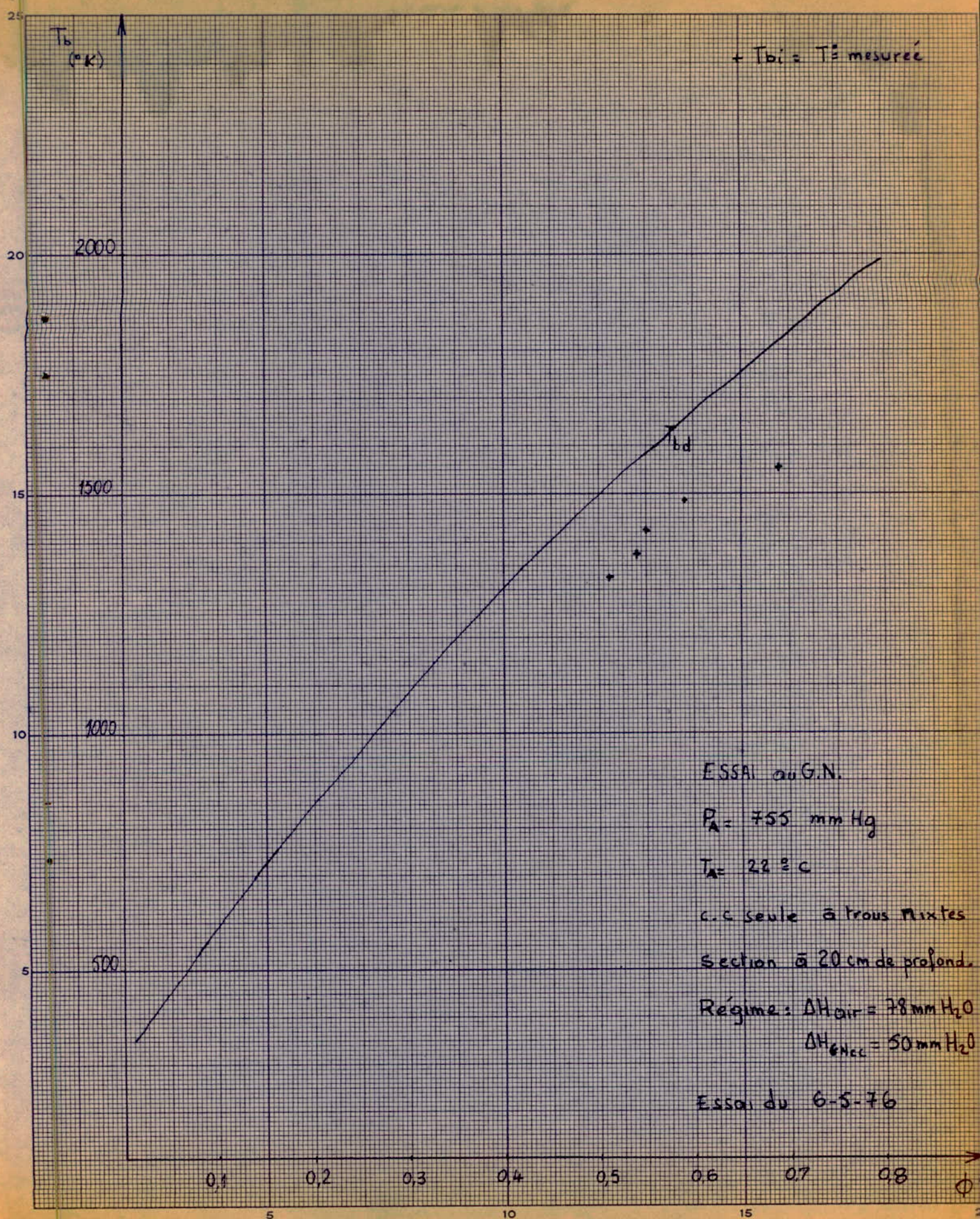


DEPOUILLEMENT

DATE: 6-5-76

SECTION A 20 CM DE PROFONDEUR

$P_{GN.C.P}$	bar absolu					
$T_{GN.C.P}$	°K					
$\rho_{GN.C.P}$	kg/m^3					
$\dot{m}_{GN.C.P}$	g/s					
$P_{G.N.C.C.}$	bar absolu	10	10	10	10	10
$T_{G.N.C.C.}$	°K	292	291,5	291	290	290
$\rho_{G.N.C.C.}$	kg/m^3	7,783	7,796	7,810	7,836	7,836
$\dot{m}_{G.N.C.C.}$	g/s	8,001	8,007	8,015	8,028	8,028
T_{air}	°K	323	324	325	325	324
ρ_{air}	kg/m^3	1,188	1,188	1,188	1,188	1,188
\dot{m}_{air}	g/s	859	859	859	859	859
T_{sonde}	°K	1423	1483	1323	1373	1553
T_{sortie}	°K	893	893	893	893	893
$a'CO_2T$	%	6,532	6,808	5,845	6,143	8,081
$a'CO_2R$	%	6,199	6,531	5,756	6,033	7,527
$a'CO$	%	0,212	0,159	0,084	0,159	0,562
$a'O_2$	%	7,375	6,125	8,75	8,125	3,875
ϕ_g	c/A ρ_A	0,143	0,143	0,143	0,143	0,143
ϕ_l	$a'CO_2$ $= \rho(\phi)$	0,55	0,59	0,51	0,54	0,69
η_c	$\frac{a'CO_{2r}}{a'CO_{2T}}$	0,978	0,959	0,984	0,982	0,931

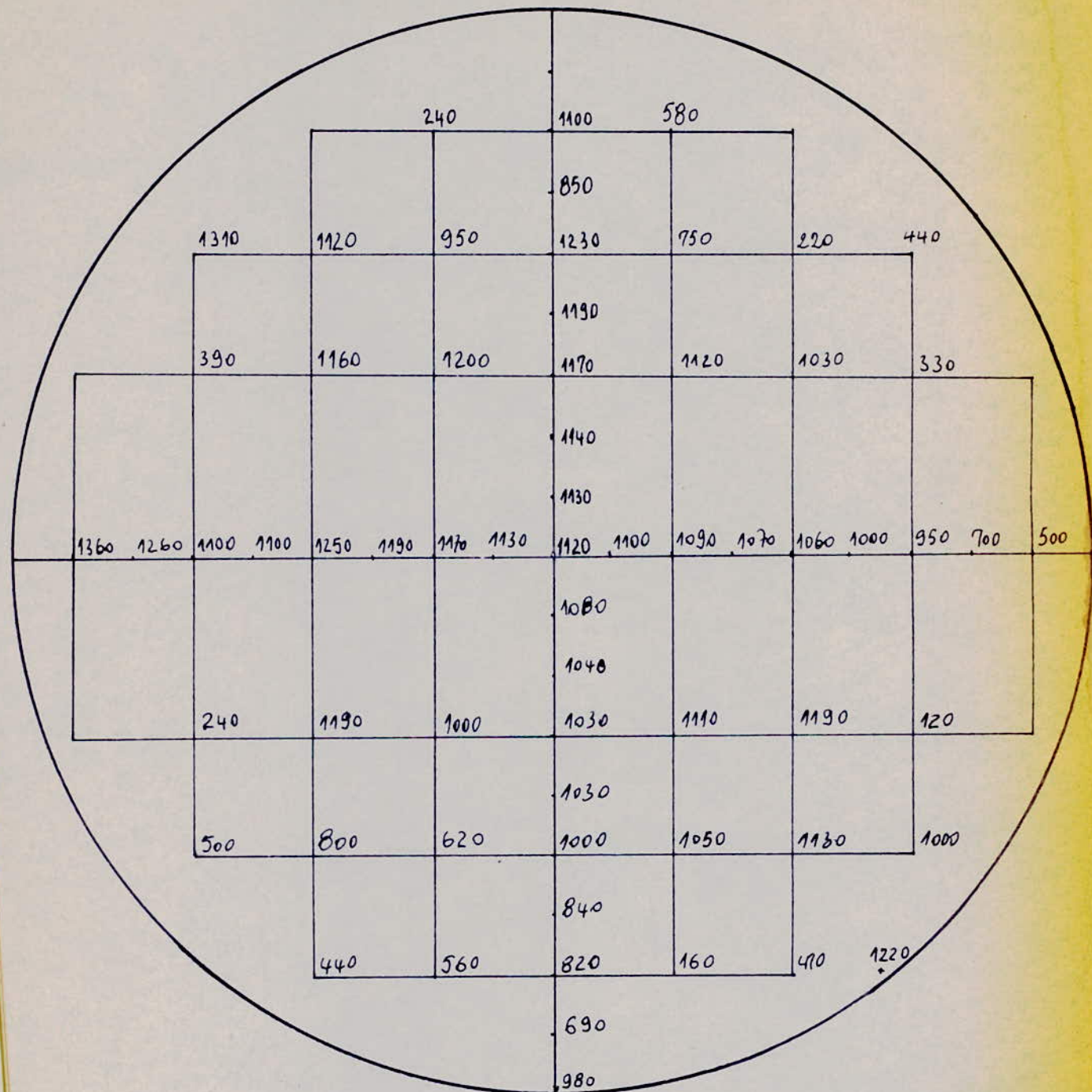


Chambre de combustion

à trous mixtes

C. C. Saula

6 - 5 - 76



Repartition des températures ($^{\circ}\text{C}$)

Section à 20 cm de profondeur

Régime

$$\Delta H_{\text{air}} = 98 \text{ mm H}_2\text{O}$$

$$P_A = 755,1 \text{ mm Hg}$$

$$\Delta H_{\text{GNCC}} = 50 \text{ mm H}_2\text{O}$$

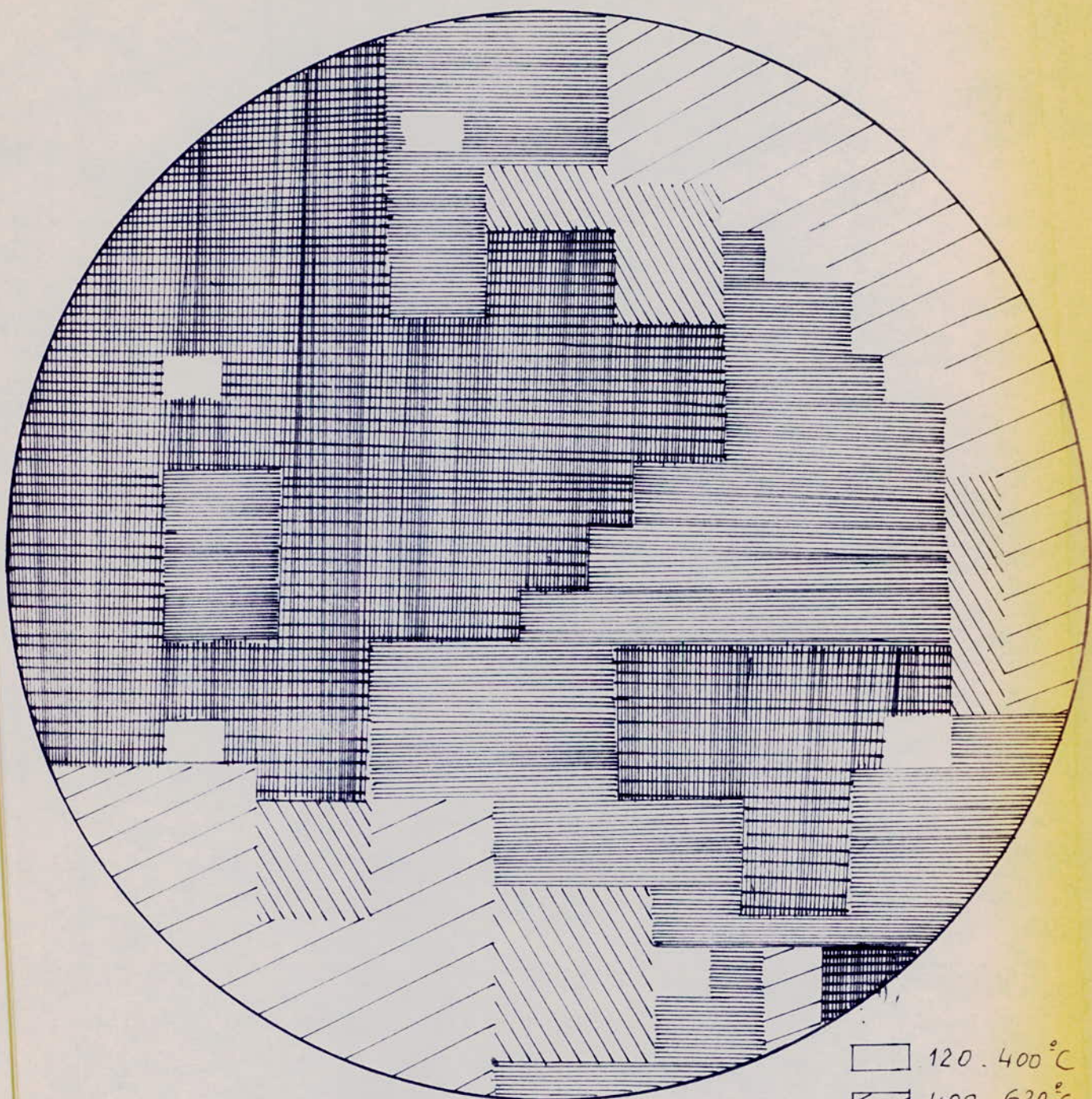
$$T_A = 19,8^{\circ}\text{C}$$

Chambre de combustion

à Trous mixtes

C.C. Seule

6. 5. 76



Carte de répartition des températures

Section à 20 cm de profondeur

Régime

$$\Delta H_{\text{air}} = 78 \text{ mm H}_2\text{O}$$

$$P_A = 755,1 \text{ mm Hg}$$

$$\Delta H_{\text{GNCC}} = 50 \text{ mm H}_2\text{O}$$

$$T_A = 19,8^\circ\text{C}$$

■ 120 - 400 °C

■ 400 - 620 °C

■ 620 - 900 °C

■ 900 - 1100 °C

■ 1100 - 1360 °C

Date : 7 - 5 - 76

	CO_2	$\text{CO}_{0,5\%}$	$\text{CO}_{10\%}$	O_2
N_2				
$\text{CO}_2 \text{ } 6\%$	0,648 mV			
$\text{CO } 6,3\%$			7 mA	
$\text{CO } 0,49\%$				
AIR				85,2

$P_A = 752,2$	mm Hg
$T_A = 21,5$	°C

- C-C SEULE SANS PRECHAUFFE
- SECTION A 30 CM DE PROFONDEUR

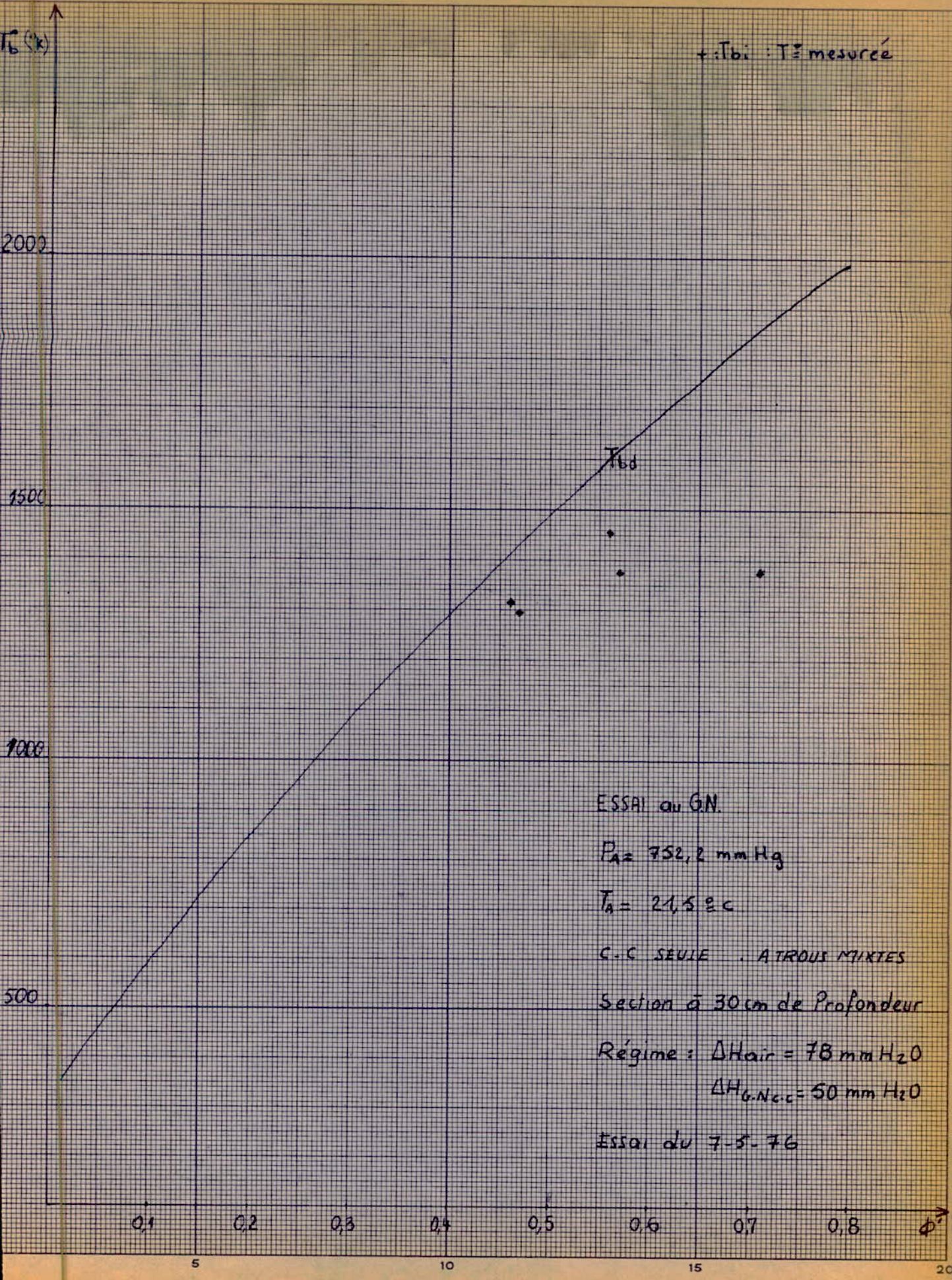
$T_{\text{G.N.C.P.}}$	°C					
$P_{\text{G.N.C.P.}}$	bär rel					
$\Delta H_{\text{G.N.C.P.}}$	mm H_2O					
$T^{\circ}\text{ air comp.}$	°C	48	52	52	52	52
$T^{\circ}\text{ sonde}$	°C	1020	1180	1040	1100	1100
$T^{\circ}\text{ Sortie}$	°C	600	600	600	600	600
$T^{\circ}\text{ G.N.C.C.}$	°C	19,4	19	19	19	19
$P_{\text{G.N.C.C.}}$	bär rel	9	9	9	9	9
$\Delta H_{\text{G.N.C.C.}}$	mm H_2O	50	50	50	50	50
$\Delta H_{\text{air Venturi}}$	mm H_2O	78	78	78	78	78
$a' \text{CO}_{2\text{Total}}$	mV	0,585	0,682	0,578	0,70	0,862
$a' \text{CO}_{2\text{reel}}$	mV	0,565	0,628	0,56	0,642	0,72
$a' \text{CO}$	mA	0,35	1,7	1,18	1,63	2,5
$a' \text{O}_2$		38,5	30,5	39,6	28	15
$T^{\circ}\text{ Four}$	°C	400	400	400	400	400



DATE: 7-5-76
SECTION A 30 CM DE
PROFONDEUR

DEPOUILLEMENT

P _{G.N.C.P.}	bar absolu					
T _{G.N.C.P.}	°K					
ρ _{G.N.C.P.}	kg/m ³					
ṁ _{G.N.C.P.}	g/s					
P _{G.N.C.C.}	bar absolu	10	10	10	10,1	10
T _{G.N.C.C.}	°K	292,4	292	292	292	292
ρ _{G.N.C.C.}	kg/m ³	7,772	7,783	7,783	7,861	7,783
ṁ _{G.N.C.C.}	g/s	7,995	8,001	8,001	8,041	8,001
T _{air}	°K	321	325	325	325	325
ρ _{air}	kg/m ³	1,186	1,186	1,186	1,186	1,186
ṁ _{air}	g/s	858	858	858	858	858
T _{sonde}	°K	1293	1453	1313	1373	1373
T _{sortie}	°K	873	873	873	873	873
α'CO ₂ r	%	5,091	5,781	5,036	5,934	6,788
α'CO ₂ T	%	5,310	6,372	5,233	5,569	8,343
αCO	%	0,371	0,743	0,191	0,668	1,592
αO ₂	%	9,625	7,625	9,9	7	3,750
Φ _g	c/A f ₁	0,143	0,143	0,143	0,143	0,143
Φ _l	α'CO ₂ = f(Φ)	0,470	0,56	0,46	0,57	0,71
η _c	α'CO _{2r} α'CO _{2T}	0,958	0,907	0,962	0,903	0,813

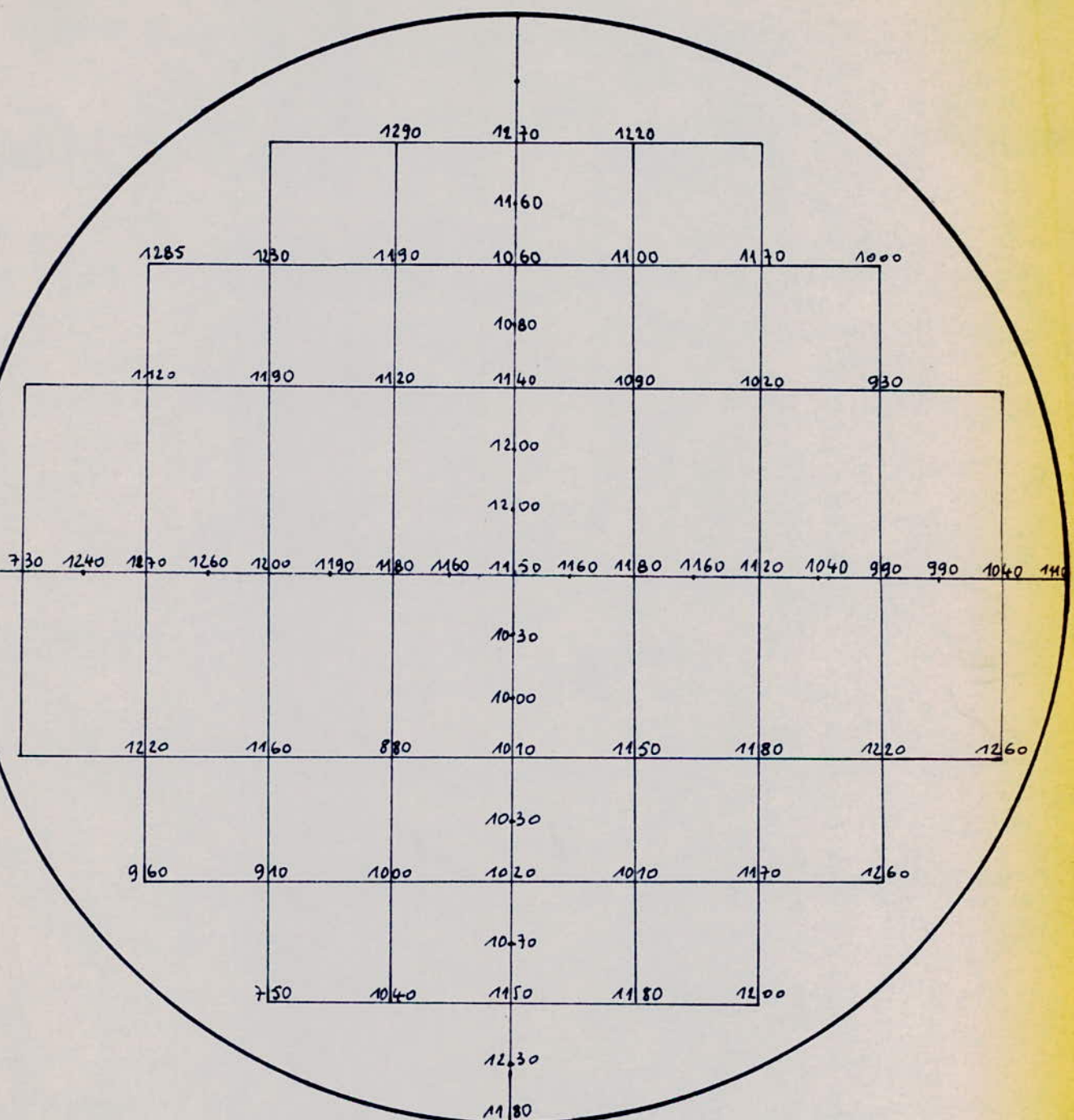


CHAMBRE DE COMBUSTION

A TROUS MIXTES

C.C Seule

7.5.76



Répartition des températures (°C)

Section à 30 cm de profondeur

Régime : $\Delta H_{air} = 78 \text{ mm H}_2\text{O}$ $P_A = 754,2 \text{ mm Hg}$

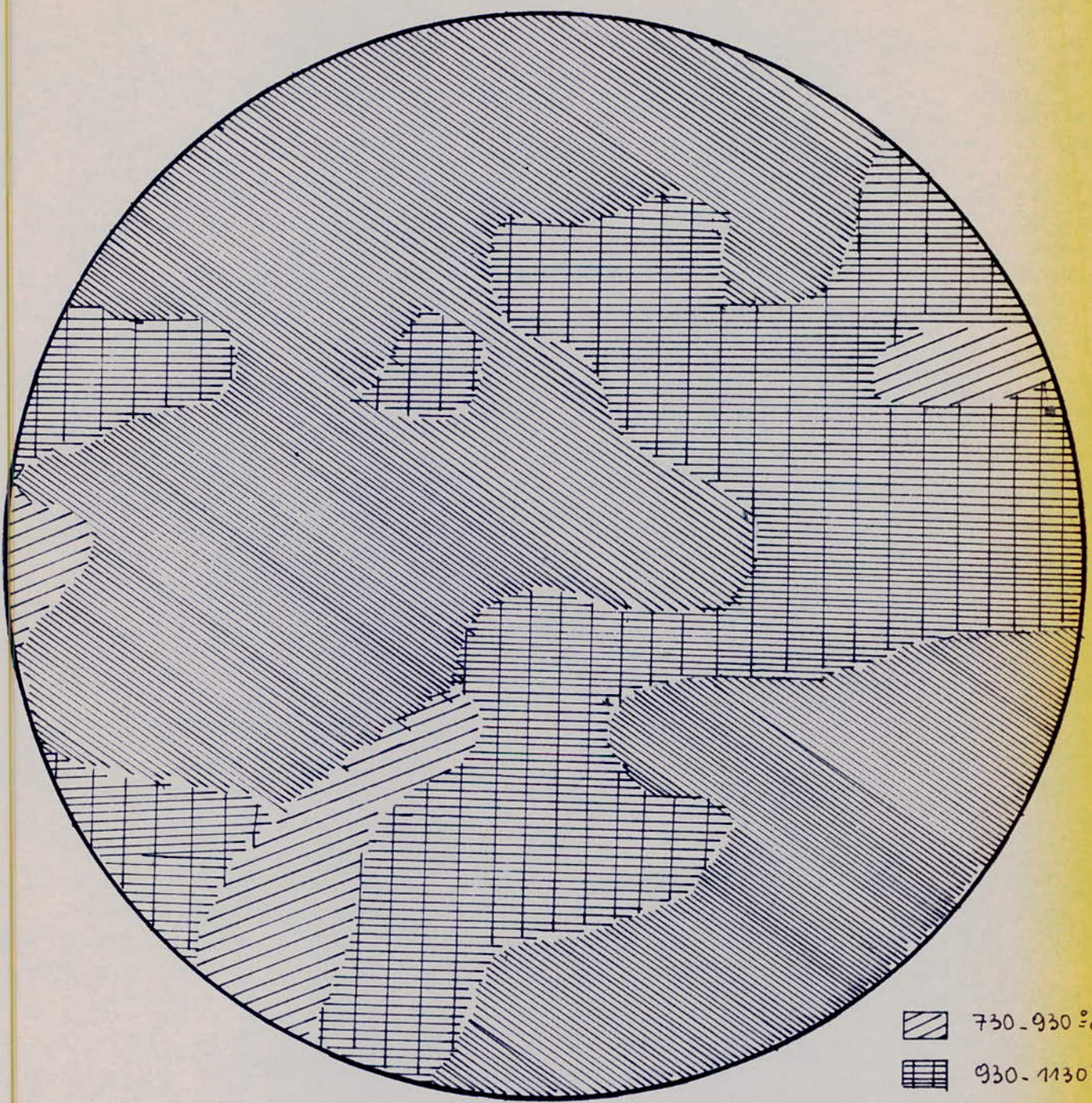
$\Delta H_{G.N_{CC}} = 50 \text{ mm H}_2\text{O}$ $T_A = 20^\circ\text{C}$

CHAMBRE DE COMBUSTION

A TROUS MIXTES

C.C Seule

7.5.76



carte de Répartition des températures

Section à 30cm de profondeur

Régime : $\Delta H_{air} = 78 \text{ mm H}_2\text{O}$ $P_A = 754,2 \text{ mm Hg}$

$\Delta H_{G.N_{CC}} = 50 \text{ mm H}_2\text{O}$ $T_A = 20^\circ\text{C}$

- 730 - 930 °C
- 930 - 1130 °C
- 1130 - 1290 °C

Date : 7 - 5 - 76

	CO_2	$\text{CO}_{0.5\%}$	$\text{CO}_{10\%}$	O_2
N_2				
$\text{CO}_2 \text{ } 6\%$	0,648 mV			
$\text{CO } 6.3\%$			7 mA	
$\text{CO } 0.49\%$				
AIR				83,2

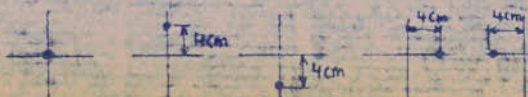
$$P_A = 751,8 \text{ mm Hg}$$

$$T_A = 21 {}^\circ\text{C}$$

- C-C SEULE SANS PRECHAUFFE

- SECTION A 35 CM DE PROFONDEUR

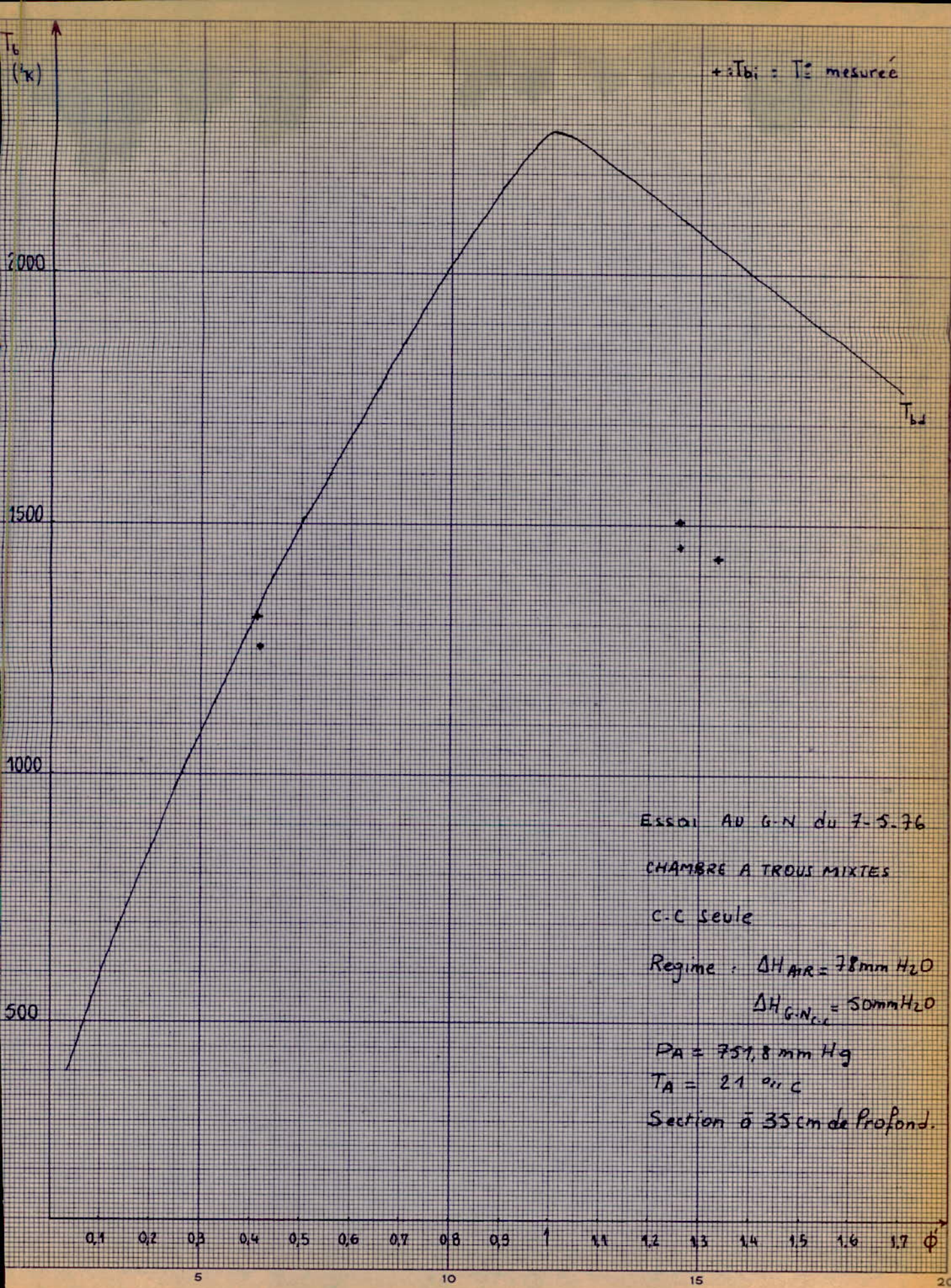
$T_{\text{G.N.C.P.}}$	${}^\circ\text{C}$					
$P_{\text{G.N.C.P.}}$	bar rel					
$\Delta H_{\text{G.N.C.P.}}$	mm H_2O					
$T_{\text{air comp.}}$	${}^\circ\text{C}$	48	51	51	51	51
T_{sonde}	${}^\circ\text{C}$	1180	1040	1230	980	1160
T_{Sortie}	${}^\circ\text{C}$	595	595	595	595	595
$T_{\text{G.N.C.C.}}$	${}^\circ\text{C}$	19	19	19	19	18
$P_{\text{G.N.C.C.}}$	bar rel	89,1	9,1	9,1	9,1	9,1
$\Delta H_{\text{G.N.C.C.}}$	mm H_2O	50	50	50	50	50
$\Delta H_{\text{air Venturi}}$	mm H_2O	78	78	78	78	78
$a' \text{CO}_2 \text{Total}$	mV	>1	0,525	0,94	0,532	>1
$a' \text{CO}_2 \text{real}$	mV	0,76	0,49	0,76	0,496	0,68
$a' \text{CO}$	mA	4,4	1,5	3,2	1,32	5,61
$a' \text{O}_2$		1,8	43,7	5	42	1,2
T_{Four}	${}^\circ\text{C}$	420	420	420	420	420



DEPOUILLEMENT

DATE: 7-5-76
 SECTION A 35 CM DE
 PROFONDEUR

$P_{GN.C.P}$	bar absolu					
$T_{GN.C.P}$	$^{\circ}\text{K}$					
$\rho_{GN.C.P}$	kg/m^3					
$m_{GN.C.P}$	g/s					
$P_{GN.C.C.}$	bar absolu	10,1	10,1	10,1	10,1	10,1
$T_{GN.C.C.}$	$^{\circ}\text{K}$	292	292	292	292	291
$\rho_{GN.C.C.}$	kg/m^3	7,861	7,861	7,861	7,861	7,888
$m_{GN.C.C.}$	g/s	8,041	8,041	8,041	8,041	8,0556
T_{air}	$^{\circ}\text{K}$	321	324	324	324	324
ρ_{air}	kg/m^3	1,187	1,187	1,187	1,187	1,187
m_{air}	g/s	858	858	858	858	858
T_{sonde}	$^{\circ}\text{K}$	1453	1313	1503	1253	1433
T_{sortie}	$^{\circ}\text{K}$	868	868	868	868	868
$\alpha'CO_2r$	%	7,226	4,270	7,226	4,335	6,350
$\alpha'CO_2T$	%	>9,854	4,653	9,635	4,729	>9,854
$\alpha'CO$	%	3,609	0,330	2,335	0,339	4,894
$\alpha'O_2$	%	0,45	10,92	1,25	10,5	0,30
Φ_g	C/A $\frac{P_1}{P_2}$	0,144	0,144	0,144	0,144	0,144
Φ_l	$\alpha'CO_2$ $= f(\phi)$	>0,84	0,41	0,82	0,417	>0,84
m_c	$\frac{\alpha'CO_2r}{\alpha'CO_2T}$	<0,733	0,917	0,749	0,916	<0,643

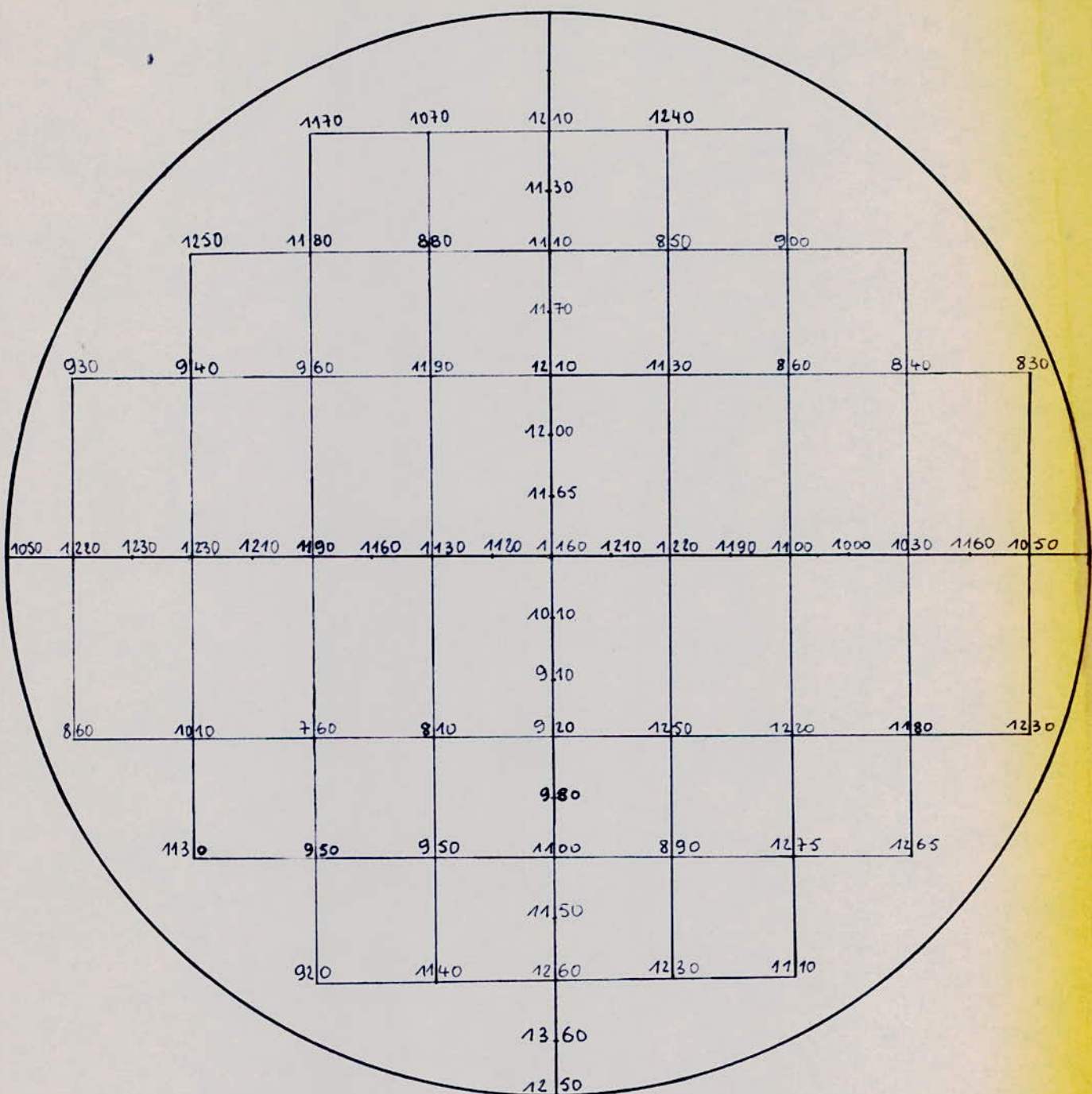


CHAMBRE DE COMBUSTION

A TROUS MIXTES

C - C SEULE

DATE : 8 - 5 - 76



Répartition des Températures (°C)

Section à 35 cm de profondeur

Régime : $\Delta H_{AIR} = 78 \text{ mm H}_2\text{O}$

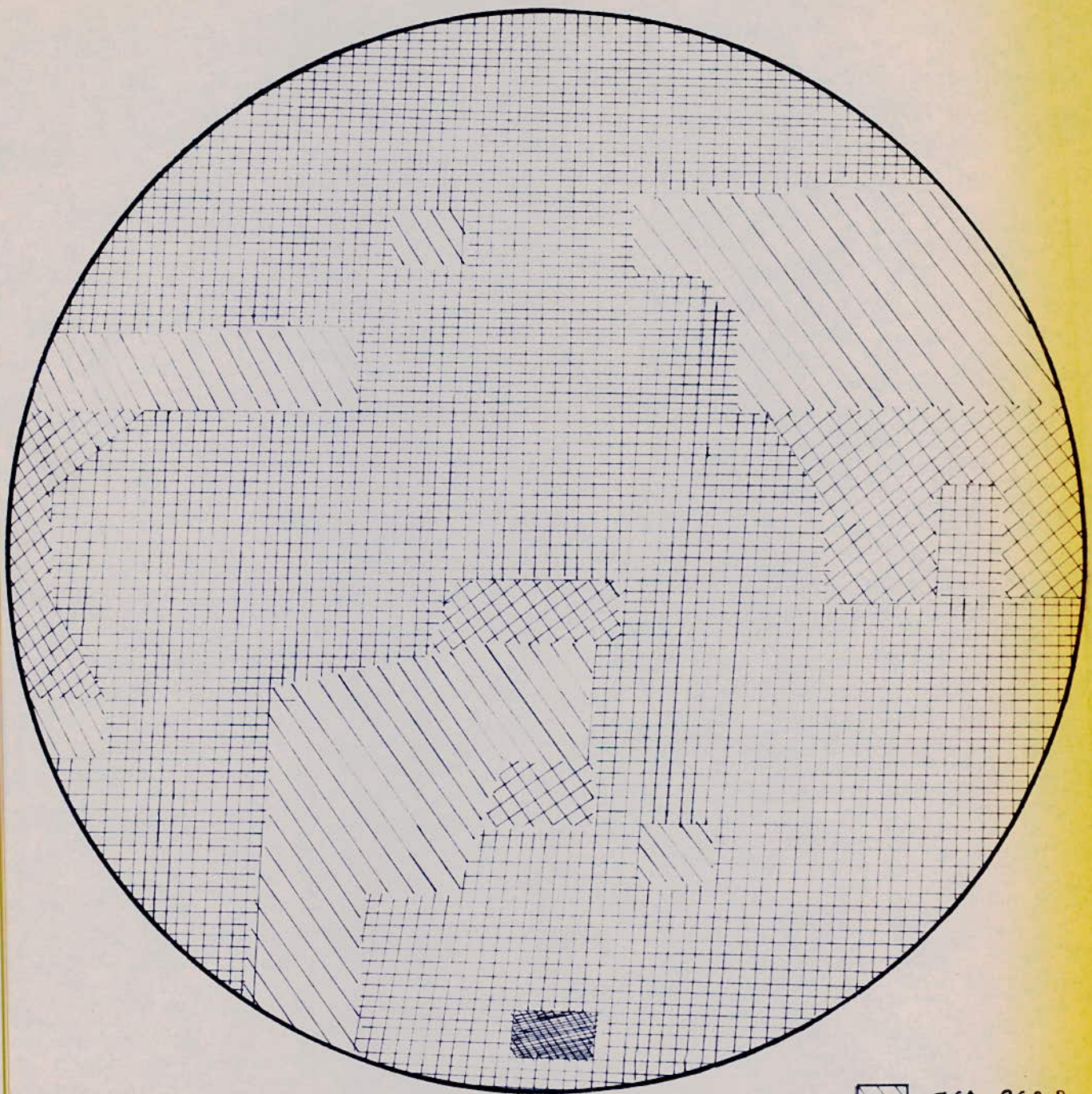
$\Delta H_{G.N} = 50 \text{ mm H}_2\text{O}$

CHAMBRE DE COMBUSTION

A TROUS MIXTES

C.C. SEULE

DATE : 8 - 5 - 46.



CARTE DE RéPARTITION DES TEMPÉRATURES

SECTION à 35 cm de profondeur

Régime : $\Delta H_{AIR} = 78 \text{ mm H}_2\text{O}$

$\Delta H_{G.N} = 50 \text{ mm H}_2\text{O}$

	760 - 960 °C
	960 - 1060 °C
	1060 - 1260 °C
	1360 °C

Date : 10 - 5 - 76

	CO_2	$\text{CO}_{0.5\%}$	$\text{CO}_{10\%}$	O_2
N_2				
$\text{CO}_2 \text{ } 6\%$	0,555 mV			
$\text{CO} \text{ } 6.3\%$		6,95 mA		
$\text{CO} \text{ } 0.49\%$				
AIR			83,2	

$$P_A = 757,7 \text{ mm Hg}$$

$$T_A = 22 \text{ } ^\circ\text{C}$$

- C-C SEULE SANS PRECHAUFFE
- SECTION A 40 CM DE PROFONDEUR

$T_{\text{G.N.C.P.}}$	$^\circ\text{C}$								
$P_{\text{G.N.C.P.}}$	bar rel								
$\Delta H_{\text{G.N.C.P.}}$	mm H_2O								
$T_{\text{air comp}}$	$^\circ\text{C}$	52	52	52	52	52	52	52	52
T_{sonde}	$^\circ\text{C}$	II40	990	880	930	II90	I080	850	II50
T_{Sortie}	$^\circ\text{C}$	640	640	640	640	640	640	640	640
$T_{\text{G.N.C.C.}}$	$^\circ\text{C}$	19,5	I9	I9	I8	I8	I8	I8	I8
$P_{\text{G.N.C.C.}}$	bar rel	9	9	9	9	9	9	9	9
$\Delta H_{\text{G.N.C.C.}}$	mm H_2O	50	50	50	50	50	50	50	50
$\Delta H_{\text{air Venturi}}$	mm H_2O	78	78	78	78	78	78	78	78
$a' \text{CO}_{2\text{Total}}$	mV	0,95	> I	0,47	0,86	> I	0,78	0,34	0,85
$a' \text{CO}_{2\text{real}}$	mV	0,640	0,580	0,427	0,632	0,610	0,593	0,330	0,620
$a' \text{CO}$	mA	3,85	6,50	I,35	3,32	5,90	2,75	I,18	3,60
$a' \text{O}_2$		3	0,7	44	8	I	I4,7	57,5	7,5
T_{Four}	$^\circ\text{C}$								



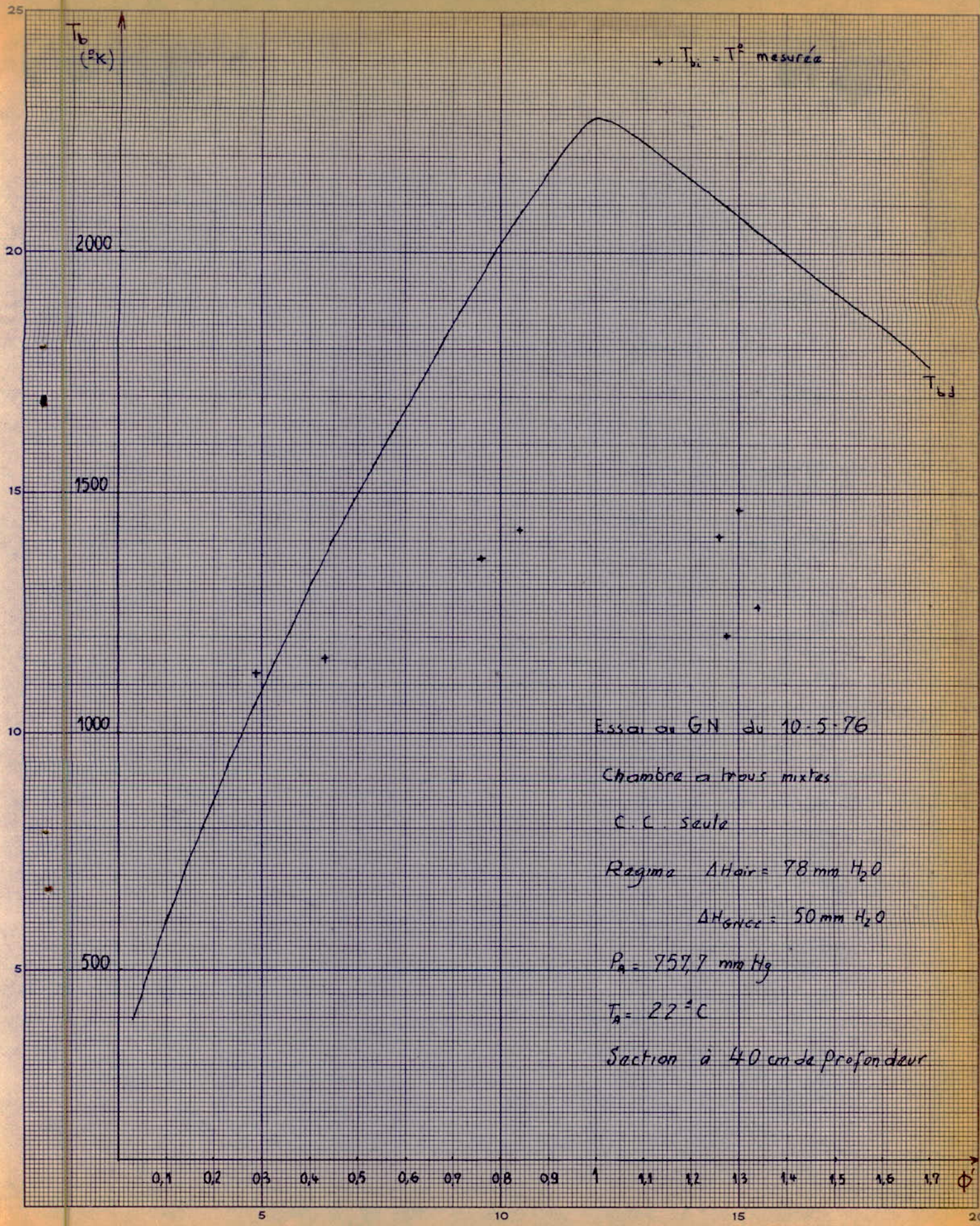
DATE: 10-5-76

DEPOUILLEMENT

— C-C SEULE SANS PRECH.

— SECT. A 40 CM DE PROF.

$P_{GN.C.P}$	bar absolu							
$T_{GN.C.P}$	$^{\circ}K$							
$\rho_{GN.C.P}$	kg/m^3							
$m_{GN.C.P}$	g/s							
$P_{GN.C.C.}$	bar absolu	10	10	10	10	10	10	10
$T_{GN.C.C.}$	$^{\circ}K$	292,5	292	292	291	291	291	291
$\rho_{GN.C.C.}$	kg/m^3	7,77	7,78	7,78	7,81	7,81	7,81	7,81
$m_{GN.C.C.}$	g/s	7,990	8,000	8,000	8,015	8,015	8,015	8,015
T_{air}	$^{\circ}K$	325	325	325	325	325	325	325
ρ_{air}	kg/m^3	1,192	1,192	1,192	1,192	1,192	1,192	1,192
m_{air}	g/s	860	860	860	860	860	860	860
T_{sonde}	$^{\circ}K$	1413	1263	1153	1203	1463	1353	1223
T_{sortie}	$^{\circ}K$	913	913	913	913	913	913	913
$\alpha'CO_2r$	%	7,120	6,330	4,310	7,015	6,725	6,501	3,033
$\alpha'CO_2T$	%	11,209	11,61	4,879	10,022	11,866	6,967	3,165
$\alpha'CO$	%	3,051	5,688	0,374	2,483	5,245	1,873	0,192
$\alpha'O_2$	%	0,700	0,17	11	2	0,250	3,675	14,375
ϕ_g	C/A $\frac{P_g}{P_s}$	0,143	0,143	0,143	0,143	0,143	0,143	0,143
ϕ_l	$\alpha'CO_2$ $= f(\phi)$	1,265	1,340	0,430	1,275	1,300	0,760	0,290
η_c	$\frac{\alpha'CO_2r}{\alpha'CO_2T}$	0,635	0,533	0,863	0,698	0,66	0,725	0,958

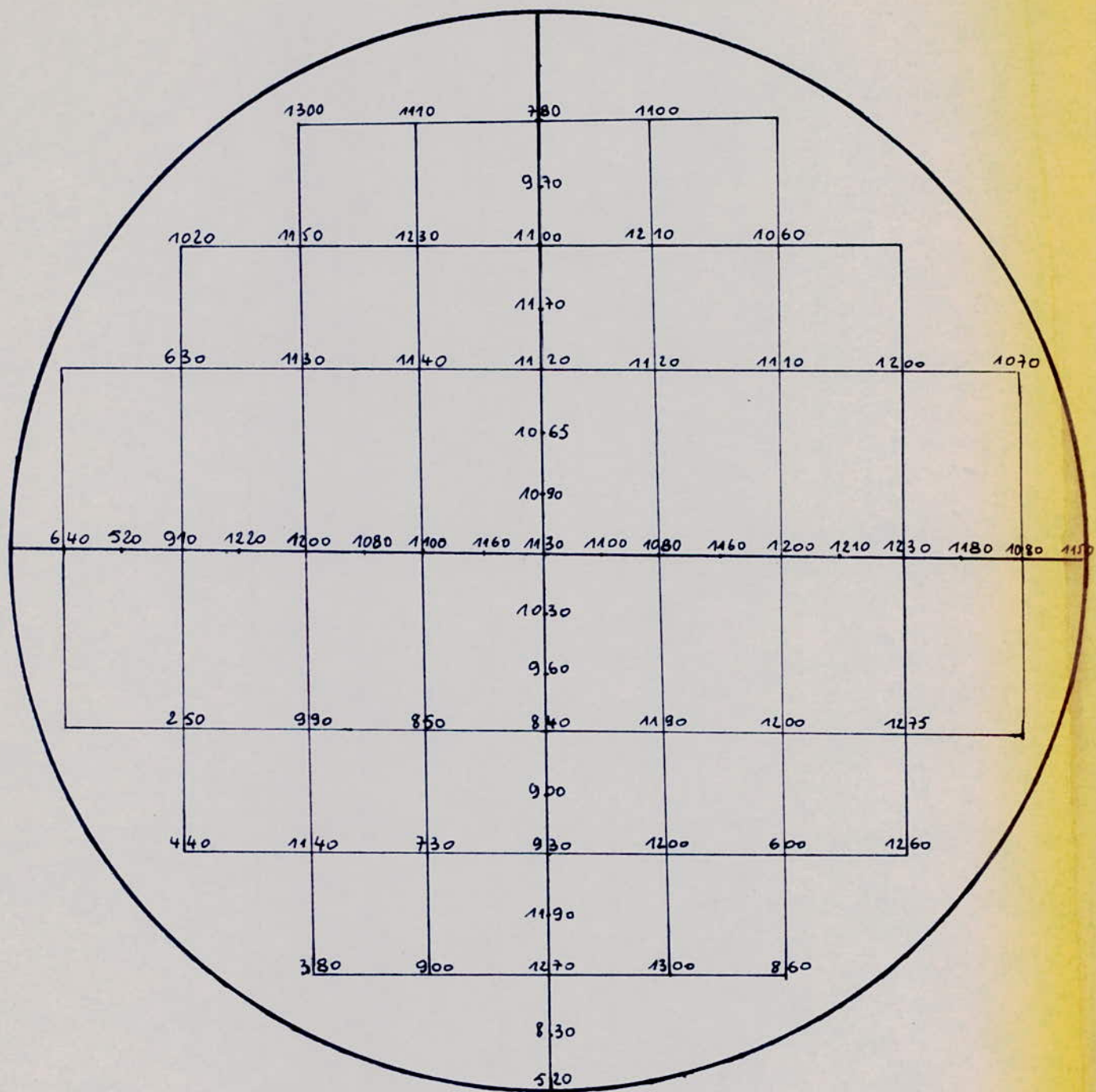


CHAMBRE DE COMBUSTION

A TROUS MIXTES

C.C SEULE

8.5.76



Répartition des températures
section à 40 cm de profondeur

Régime : $\Delta H_{air} = 78 \text{ mm H}_2\text{O}$

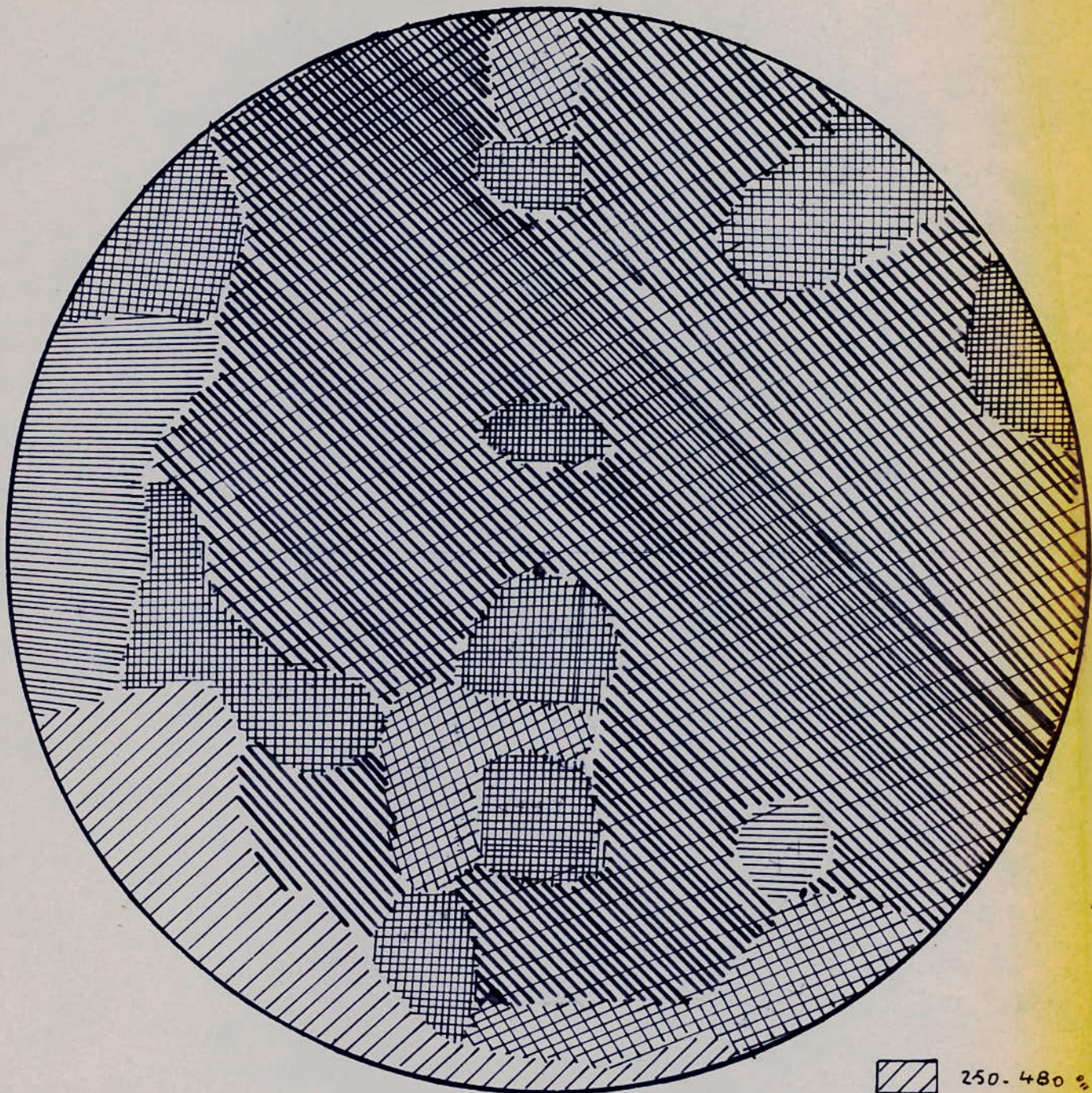
$\Delta H_{G.N.} = 50 \text{ mm H}_2\text{O}$
c.c

CHAMBRE DE COMBUSTION

A TROUS MIXTES

C.C SEULE

8-5-76



carte de répartition des températures

Section à 40 cm de profondeur

Régime : $\Delta H_{air} = 78 \text{ mm H}_2\text{O}$

$\Delta H_{G.N} = 50 \text{ mm H}_2\text{O}$

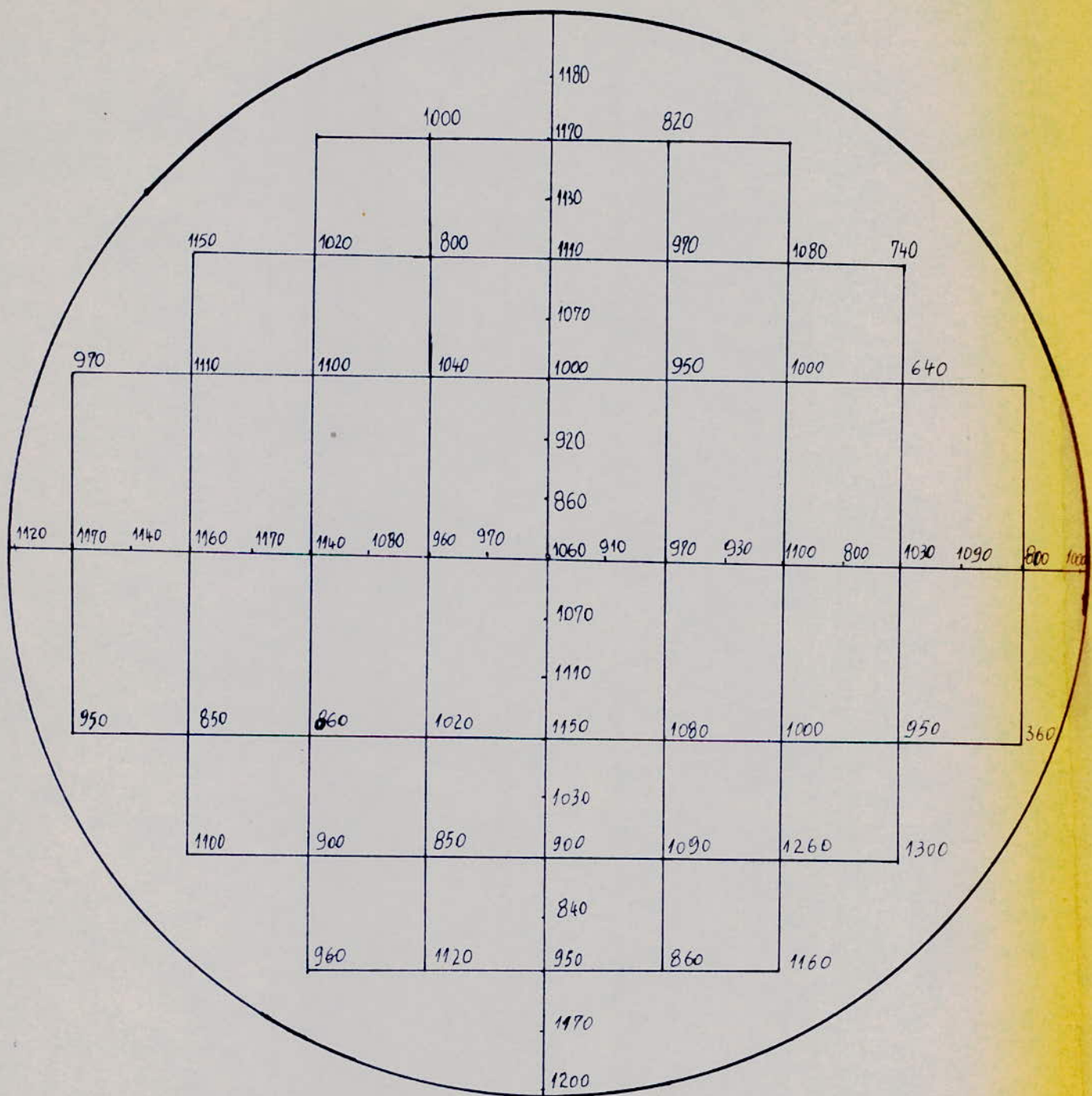
Diagonal lines	250 - 480 °C
Horizontal lines	480 - 680 °C
Cross-hatch	680 - 880 °C
Vertical lines	880 - 1080 °C
Grid pattern	1080 - 1300 °C

Chambre de Combustion

à trous mixtes

C.C. Savela

11. 5. 76



Repartition des températures (°C)

Section en face de la rosace (42 cm de profondeur)

Régime : $\Delta H_{air} = 78 \text{ mm H}_2\text{O}$

$P_A = 759,1 \text{ mm Hg}$

$\Delta H_{GNCC} = 50 \text{ mm H}_2\text{O}$

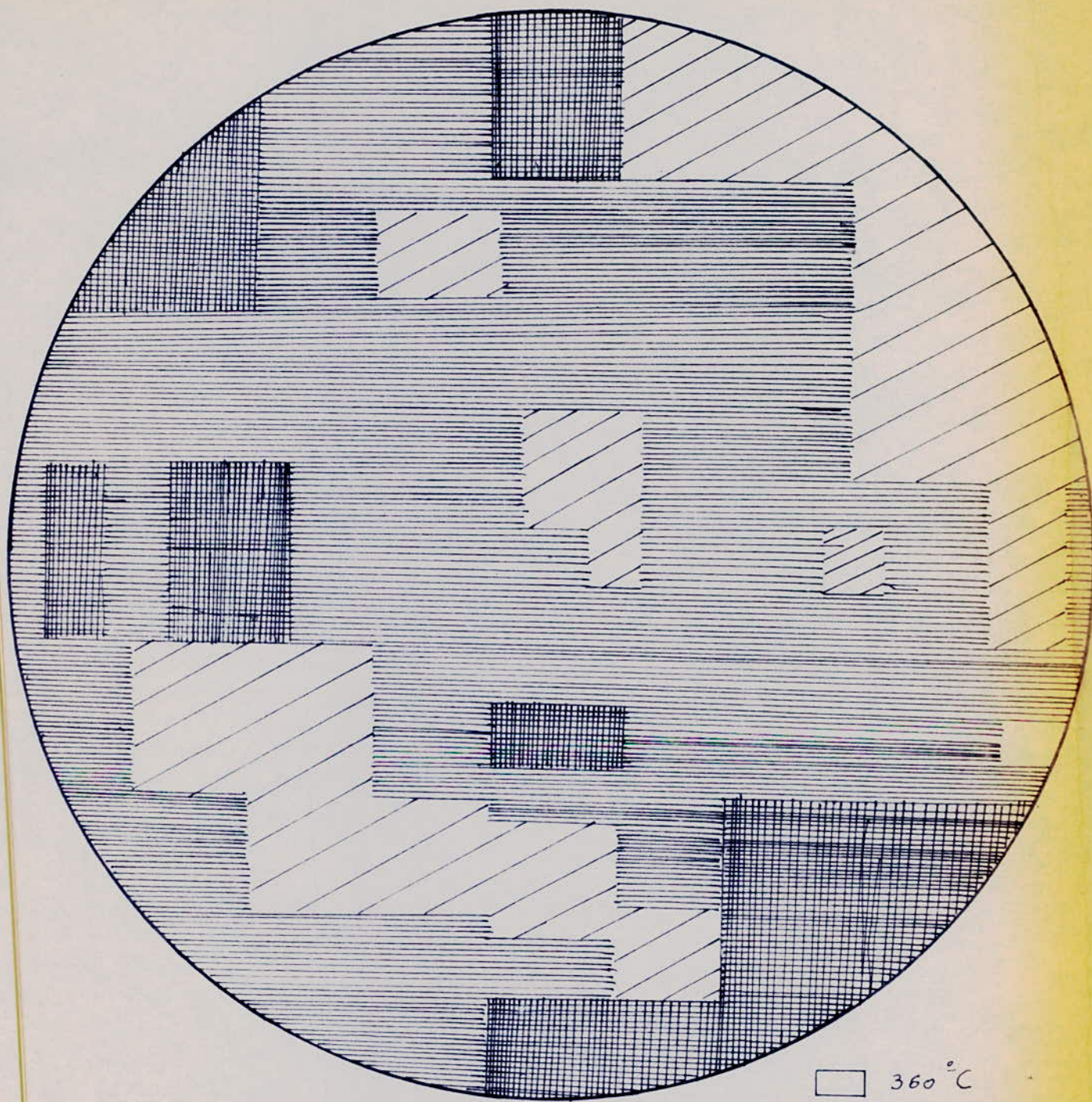
$T_A = 21^\circ C$

Chambre de combustion

à trous mixtes

C.C. Seule

11-5-76



carte de répartition des températures

Régime : $\Delta H_{air} = 78 \text{ mm H}_2\text{O}$

$P_A = 759,1 \text{ mm Hg}$

$\Delta H_{GNCC} = 50 \text{ mm H}_2\text{O}$

$T_A = 21^\circ\text{C}$

- 360°C
- ▨ $640 - 940^\circ\text{C}$
- ▨ $940 - 1140^\circ\text{C}$
- ▨ $1140 - 1300^\circ\text{C}$

Section en face de la rosace
(42 cm de profondeur)

Date : 21 - 5 - 76

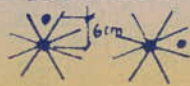
	CO_2	$\text{CO}_{0,5\%}$	CO_{m}	O_2
N_2				
$\text{CO}_2 \text{ 6\%}$	0,462 mV			
$\text{CO} \text{ 6,3\%}$			7,02 mA	
$\text{CO} \text{ 0,49\%}$				
AIR				83,2

$P_A = 759,4$	mm Hg
$T_A = 25$	°C

- C.C Seule

- Section coupant les
bras de la rosace

T_{GNCP}	°C				
P_{GNCP}	bar rel				
ΔH_{GNCP}	mm H_2O				
$T^{\circ}\text{air comp}$	°C	52	54	54	55
$T^{\circ}\text{sonde}$	°F	1020	1080	1040	1090
$T^{\circ}\text{Sortie}$	°C	670	670	670	670
$T^{\circ}\text{GNCC}$	°C	22	22	21,5	22
P_{GNCC}	bar rel	9	9	9	9
ΔH_{GNCC}	mm H_2O	50	50	50	50
$\Delta H_{\text{air Venturi}}$	mm H_2O	78	78	78	78
$a' \text{CO}_2 T_{\text{real}}$	mV	0,670	0,620	0,620	0,818
$a' \text{CO}_2 \text{ reel}$	mV	0,370	0,373	0,405	0,467
$a' \text{CO}$	%	7,19	7,42	7,32	5,50
$a' \text{O}_2$		1,8	1,3	1,6	2,7
$T^{\circ}\text{Four}$	°C				



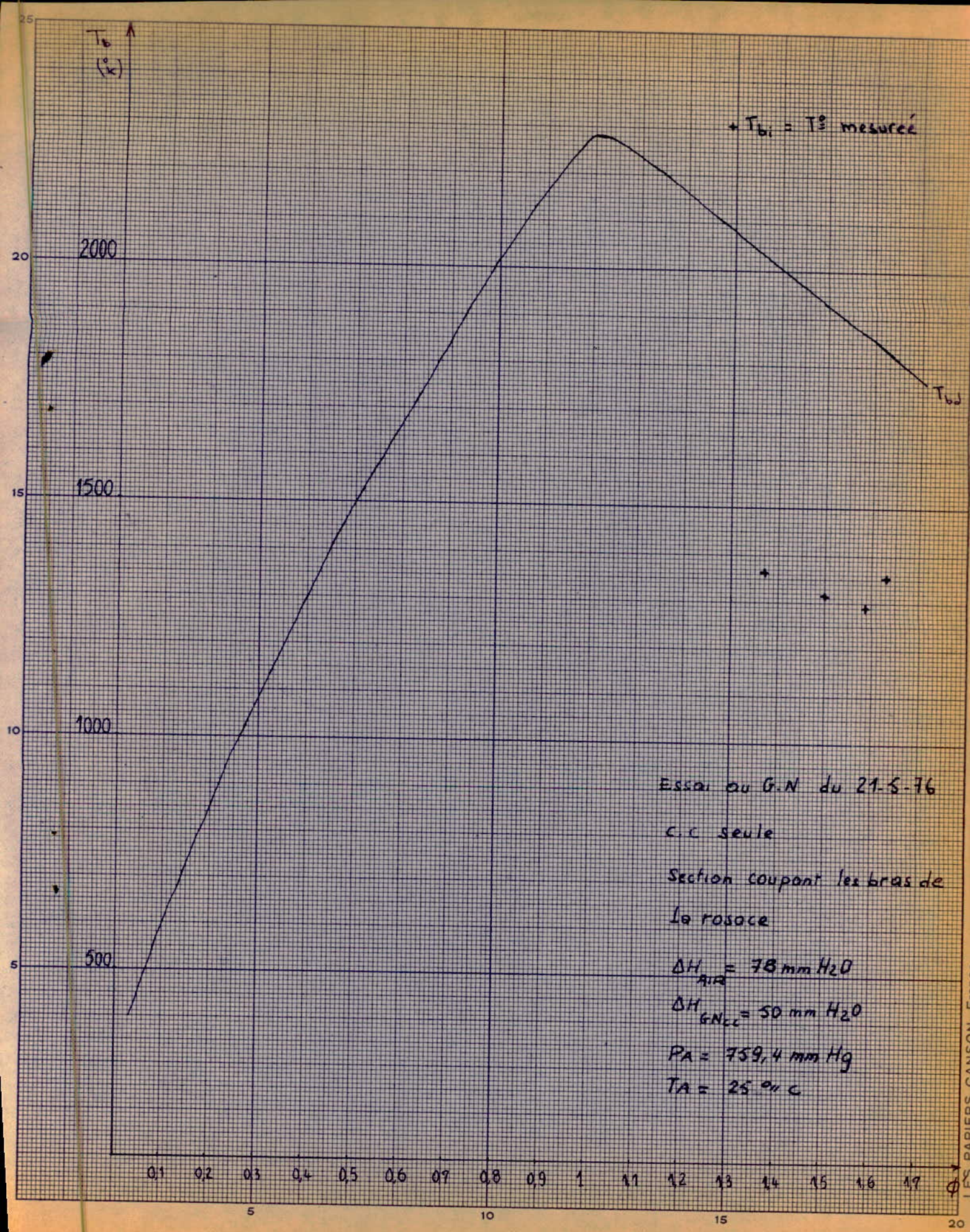
Date : 21.5.76

DEPOUILLEMENT

C.C Seule

Section coupant les bras de la rosace

P _{G.N.C.P.}	bar absolu					
T _{G.N.C.P.}	°K					
ρ _{G.N.C.P.}	Kg/m ³					
ṁ _{G.N.C.P.}	g/s					
P _{G.N.C.C.}	bar absolu	I0	I0	I0	I0	
T _{G.N.C.C.}	°K	295,0	295,0	294,5	295,0	
ρ _{G.N.C.C.}	Kg/m ³	7,704	7,704	7,717	7,704	
ṁ _{G.N.C.C.}	g/s	7,960	7,960	7,967	7,960	
T _{air}	°K	325	327	327	328	
ρ _{air}	Kg/m ³	I,183	I,183	I,183	I,183	
ṁ _{air}	g/s	857	857	857	857	
T _{sonde}	°K	I293	I353	I313	I363	
T _{sortie}	°K	943	943	943	943	
α'CO _{2,r}	%	4,475	4,524	5,055	6,082	
α'CO _{2,T}	%	9,447	8,618	8,618	II,900	
α'CO	%	6,549	6,793	6,687	4,793	
α'O ₂	%	0,450	0,325	0,400	0,675	
Φ _g	C/A $\frac{P_g}{P_s}$	0,I42	0,I42	0,I43	0,I42	
Φ _t	$\frac{\alpha'CO_2}{\alpha'CO_{2T}}$ $\rho(\phi)$	I,585	I,630	I,500	I,370	
η _c	$\frac{\alpha'CO_{2r}}{\alpha'CO_{2T}}$	0,473	0,501	0,586	0,511	



Date : 24 - 5 - 76

	CO_2	$\text{CO}_{0.5\%}$	$\text{CO}_{10\%}$	O_2
N_2				
$\text{CO}_2 \text{ } 6\%$	0,56 mV			
$\text{CO} \text{ } 6.3\%$			7 mA	
$\text{CO} \text{ } 0.49\%$				
AIR				83,2

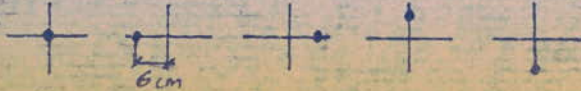
$$P_A = 756,3 \text{ mm Hg}$$

$$T_A = 24,5 {}^\circ\text{C}$$

— C-C SANS PRECHAUFFE

— C-C + PANIER, SANS RALLONGE

$T_{GN.C.P.}$	${}^\circ\text{C}$						
$P_{GN.C.P.}$	bar rel						
$\Delta H_{GN.C.P.}$	mm H_2O						
$T^{\circ}\text{ air comp.}$	${}^\circ\text{C}$	52	54	54	54	54	
$T^{\circ}\text{ sonde}$	${}^\circ\text{C}$	440	470	440	450	450	
$T^{\circ}\text{ Sortie}$	${}^\circ\text{C}$	660	660	660	660	660	
$T^{\circ}\text{ GN.C.C.}$	${}^\circ\text{C}$	22	22	22	22	22	
$P_{GN.C.C.}$	bar rel	9	9	9	9	9	
$\Delta H_{GN.C.C.}$	mm H_2O	50	50	50	50	50	
$\Delta H_{air Venturi}$	mm H_2O	78	78	78	78	78	
$a' \text{CO}_2 \text{ Total}$	mV	0,225	0,24	0,22	0,230	0,227	
$a' \text{CO}_2 \text{ reel}$	mV	0,22	0,24	0,22	0,227	0,227	
$a' \text{CO}$	mV %	I	I	I	I	I	
$a' \text{O}_2$		71,5	69,5	72	70,7	71	
$T^{\circ}\text{ Four}$	${}^\circ\text{C}$	480	510	520	520	520	



DATE: 24-5-76

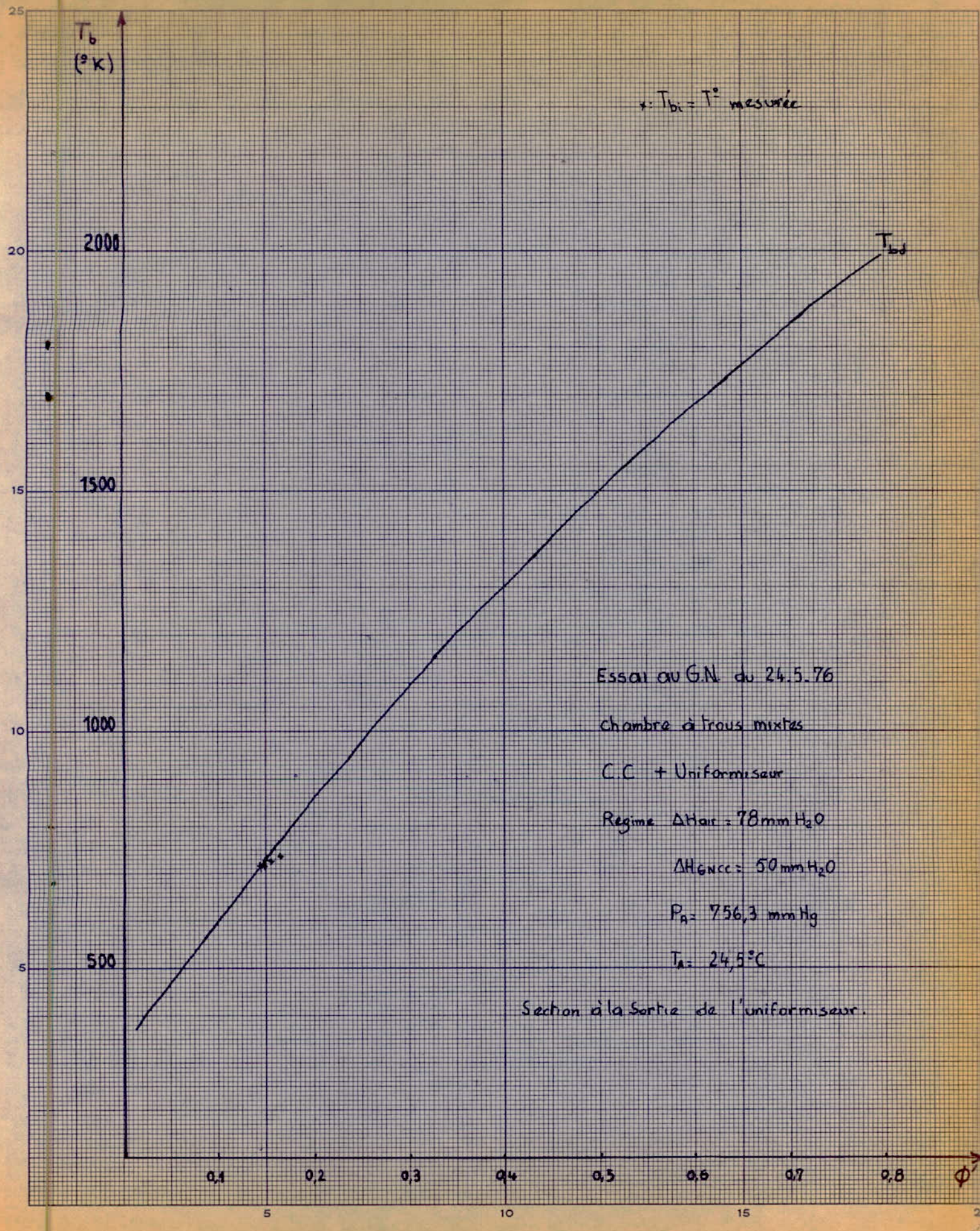
DEPOUILLEMENT

— C-C SANS PRECHAUFFE

— C-C + PANIER, SANS

— RALLONGE

$P_{GN.C.P}$	bar absolu					
$T_{GN.C.P}$	$^{\circ}K$					
$\rho_{GN.C.P}$	kg/m^3					
$\dot{m}_{GN.C.P}$	g/s					
$P_{GN.C.C.}$	bar absolu	10	10	10	10	10
$T_{GN.C.C.}$	$^{\circ}K$	295	295	295	295	295
$\rho_{GN.C.C.}$	kg/m^3	7,704	7,704	7,704	7,704	7,704
$\dot{m}_{GN.C.C.}$	g/s	7,960	7,960	7,960	7,960	7,960
T_{air}	$^{\circ}K$	325	327	327	327	327
ρ_{air}	kg/m^3	1,184	1,184	1,184	1,184	1,184
\dot{m}_{air}	g/s	857,6	857,6	857,6	857,6	857,6
T_{sonde}	$^{\circ}K$	713	743	713	723	723
T_{sortie}	$^{\circ}K$	933	933	933	933	933
$\alpha'CO_2r$	%	1,565	1,826	1,565	1,656	1,656
$\alpha'CO_2T$	%	1,630	1,826	1,565	1,695	1,656
αCO	%	0	0	0	0	0
αO_2	%	17,875	17,375	18	17,675	17,75
ϕ_g	$\frac{C/A}{\eta_1}$	0,142	0,142	0,142	0,142	0,142
ϕ_t	$\frac{\alpha'CO_2}{\alpha'CO_2r}$	0,145	0,165	0,142	0,155	0,150
η_c	$\frac{\alpha'CO_2r}{\alpha'CO_2T}$	0,960	I	I	0,976	I



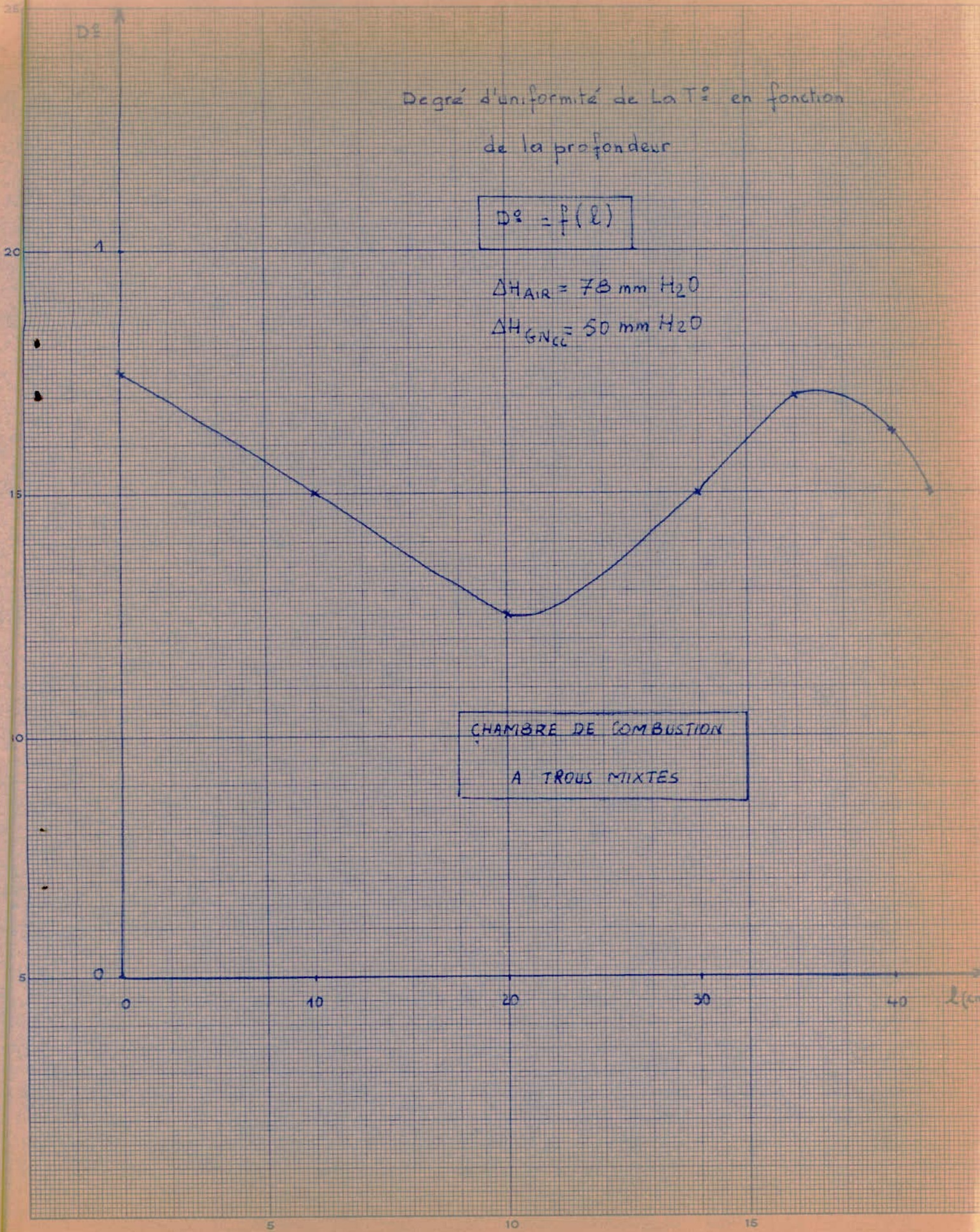
Degré d'uniformité de la T° en fonction
de la profondeur

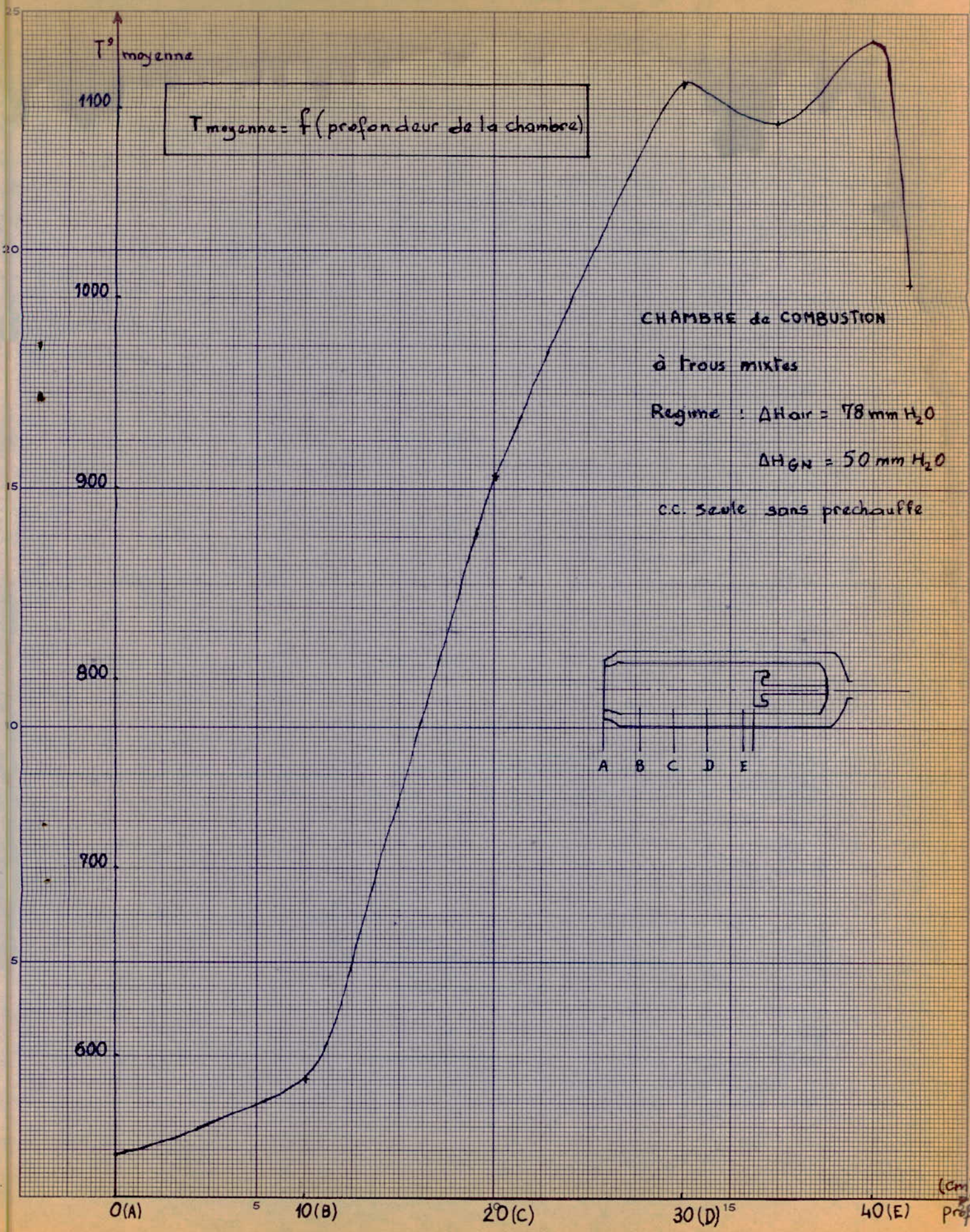
$$D^\circ = f(l)$$

$$\Delta H_{\text{AIR}} = 78 \text{ mm H}_2\text{O}$$

$$\Delta H_{\text{GNCE}} = 50 \text{ mm H}_2\text{O}$$

CHAMBRE DE COMBUSTION
A TROUS MIXTES





η_b
moyen

$$\eta_{b \text{ moyen}} = f(\text{profondeur de la chambre})$$

chambre de combustion.

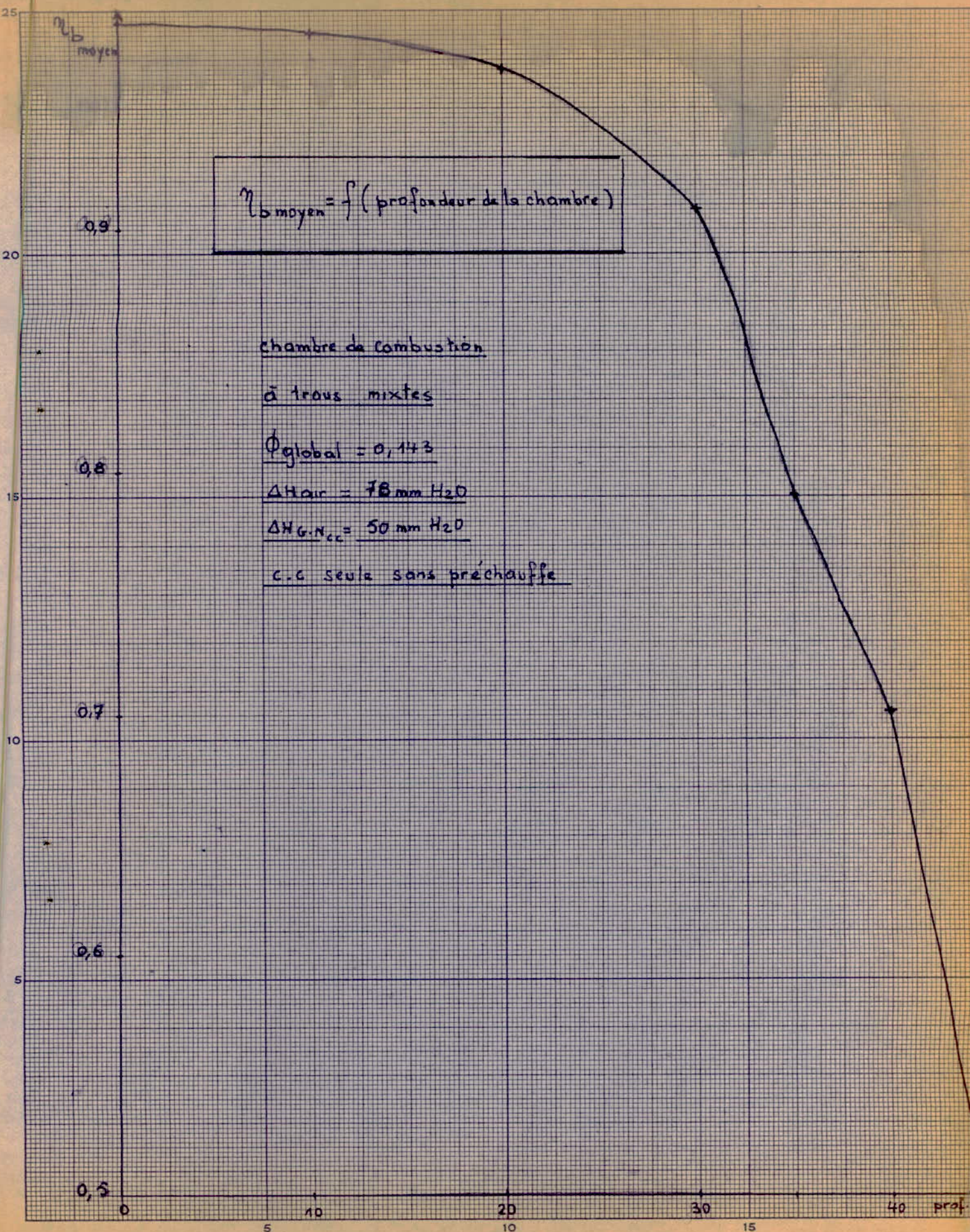
à trous mixtes

$$\phi_{\text{global}} = 0,143$$

$$\Delta H_{\text{air}} = 78 \text{ mm H}_2\text{O}$$

$$\Delta H_{\text{G.N}_{cc}} = 50 \text{ mm H}_2\text{O}$$

c.c. seule sans préchauffe



HERTES. DE CHARGES

=====
=====

PERTES DE CHARGES
-o-o-o-o-o-o-o-o-

Une bonne chambre de combustion doit permettre la combustion complète du carburant avec le minimum de pertes de charges, sa réalisation fait appel en grande partie à l'expérience. La théorie ne permet que d'évaluer les performances de la chambre et de guider le constructeur.

La perte de charge, qui est un paramètre important, s'évalue en décomposant celle-ci en deux parties :

$$\Delta P = \Delta P_a + \Delta P_{\text{thermiques}}$$

ΔP_a : étant la perte de charge aérodynamique ; elle se mesure généralement à froid et se définit de la façon suivante :

$$\Delta P_a = \frac{P_{t5} - P_{t6}}{P_{t5}}$$

(5) : entrée de la chambre

(6) : sortie de la chambre

ou encore par :

$$K = \frac{P_{t5} - P_{t6}}{\frac{1}{2} \frac{V_5^2}{V_6^2}}$$

ΔP : perte de charge totale ; elle se mesure à chaud et se définit de la façon suivante :

$$\Delta P = \frac{P_{t5} - P_{t6}}{P_{t5}}$$

$\Delta P_{\text{thermiques}}$: étant les pertes de charges thermiques.

Calcul des pertes de charges thermiques :

- 1/ Méthode expérimentale :

Elles peuvent être aussi déterminées à partir de la mesure de ΔP_{totale} et de ΔP_a :

$$\Delta P_{th} = \Delta P - \Delta P_a$$

2/ Méthode théorique :

Ces pertes thermiques peuvent être aussi déterminées théoriquement à partir de l'équation de Raleigh suivante qui considère :

- une section constante
- l'absence de frottement
- un apport de chaleur
- un régime permanent

$$\frac{P_{t6}}{P_{t5'}} = \frac{I + \frac{M_{5'}^2}{2}}{I + \frac{M_6^2}{2}}$$

$M_{5'}$: étant le mach des gaz dans la zone primaire ; la vitesse dans cette zone étant pratiquement nulle. On prendra $M_{5'} = 0$ d'où

$$\frac{P_{t6}}{P_{t5'}} = \frac{I}{I + \frac{M_6^2}{2}}$$

Ce qui donne

$$\begin{aligned}\Delta P_{th} &= 1 - \frac{P_{t6}}{P_{t5'}} \\ &= \frac{P_{t5'} - P_{t6}}{P_{t5'}}\end{aligned}$$

PLAN DE CALCUL DES PERTES DE CHARGES
-0-0-0-0-0-0-0-0-0-0-0-0-0-0-0-0-

a / Calcul du Mach :

Il est déterminé à partir de la relation suivante découlant du théorème de Barré de Saint-Venant :

$$\frac{P_i}{P} = \left(1 + \frac{\gamma - 1}{2} M^2 \right)^{\frac{2}{\gamma - 1}}$$

d'où $M = \left(\left[\left(\frac{P_i}{P} \right)^{\frac{\gamma-1}{2}} - 1 \right] \cdot \frac{2}{\gamma - 1} \right)^{\frac{1}{2}}$

Cette dernière relation applicable en écoulement isentropique subsonique permet de calculer le nombre de Mach à partir de la pression totale P_t donnée par la sonde (puisque $P_i = P_t$) et de la pression statique P

b / Calcul de la vitesse d'écoulement des gaz :

Elle est évaluée à partir de l'expression du Mach

$$M = \frac{V}{a}$$

avec : - $a = (rT)^{0,5}$ soit la vitesse locale du son

- r = constante du gaz en $\text{J/kg} \cdot ^\circ\text{K}$

- $\gamma = 1,405$ pour l'air frais ; pour les gaz, il est déterminé à partir des courbes $\gamma = f(\phi)$ et de T (pour les valeurs de ϕ_{loc} voir le dépouillement ci-après.).

- T = température mesurée au point considéré, en $^\circ\text{K}$

Commentaire (c-c à trous mixtes)

I / Pertes de charges $\frac{P_{t_0} - P_t}{P_{t_0}} = f(M_s)$:

- A froid :

Pour cette chambre les pertes aérodynamiques augmentent continument avec le Mach ; pour un Mach = 0,1 les pertes sont de 1% .

- A chaud (avec combustion) :

a/ Débit de G - N constant :

Dans ce cas, la courbe des pertes de charges a la même allure que celle à froid; pour un Mach = 0,1 les pertes sont de 1,5% . Cette augmentation de pertes à chaud traduit l'existence des pertes thermiques.

b/ Débit d'air constant :

La variation du débit de gaz n'influe pratiquement pas sur la variation des pertes de charges .

II / Pertes thermiques :

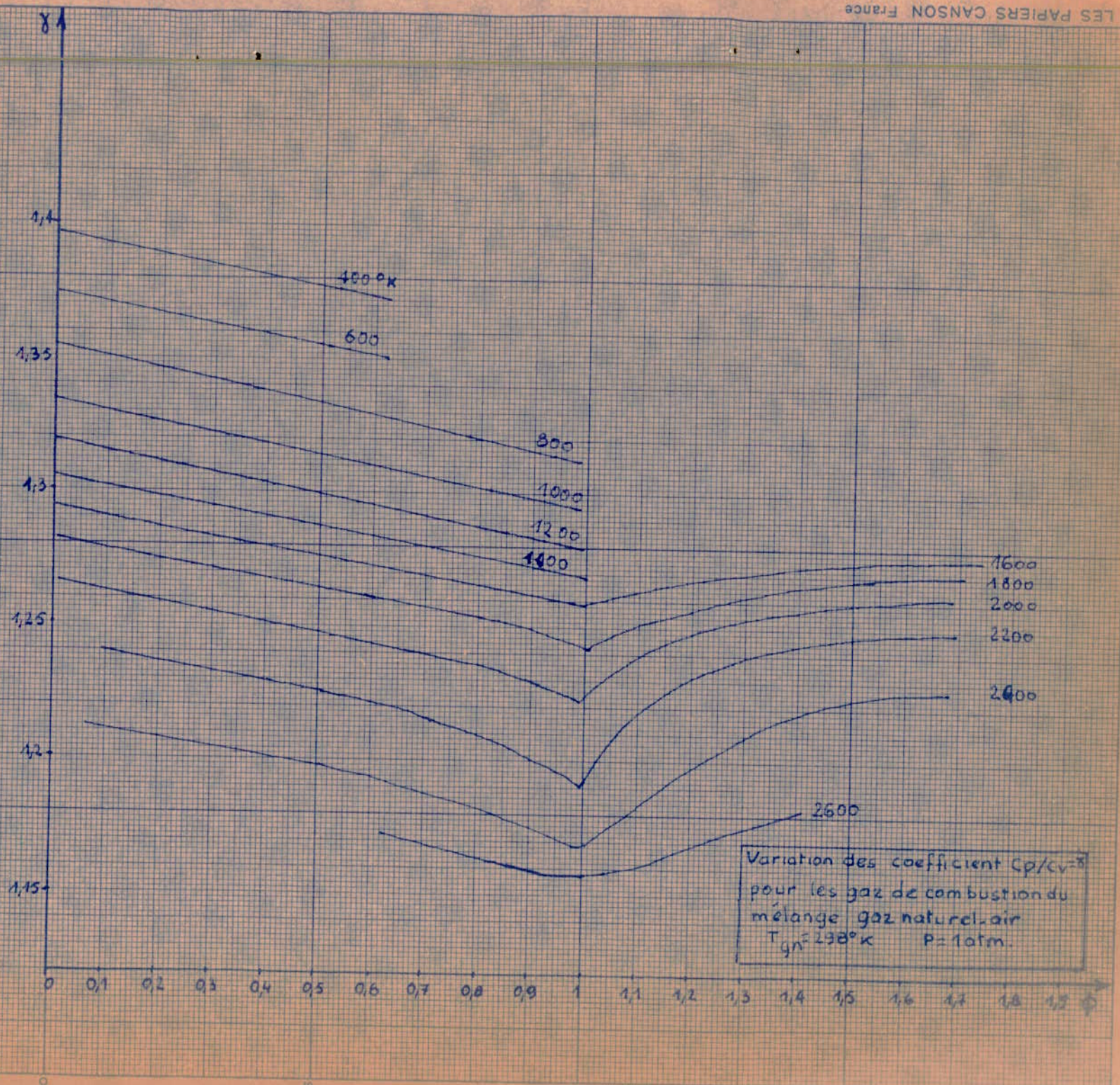
Pour un Mach d'entrée inférieur ou égal à 0,05, elles sont pratiquement nulle . Au delà de cette valeur du Mach, les pertes thermiques augmentent avec celui-ci .

Pour Mach = 0,2 les pertes sont égales à environ 7 / 1000 : elles sont négligeables devant les pertes aérodynamiques (voir annexe pour le calcul théorique) .

Ci-dessous le tableau de valeurs des pertes thermiques obtenues par les méthodes expérimentale et théorique :

2,6.	3,22.	3,49.	3,64.	4,8.	5,67.	6,47.	5,78.	Méthode
10^{-3}	10^{-3}	10^{-3}	10^{-3}	10^{-3}	10^{-3}	10^{-3}	10^{-3}	Expérimentale
1,67	2,18.	2,51.	3,40.	4,12.	5,20.	5,95.	7,43.	Méthode
10^{-3}	10^{-3}	10^{-3}	10^{-3}	10^{-3}	10^{-3}	10^{-3}	10^{-3}	Théorique

Cette différence s'explique de la même façon que pour la chambre à trous circulaires.



$$P_A = 759,7 \text{ mm Hg}$$

$$T_A = 21,5^{\circ}\text{C}$$

CHAMBRE DE COMBUSTION

A TROUS MIXTES

(A FROID)

CHAMBRE DE COMBUSTION
A TROUS MIXTES
(A Froid)

P_{t_5} / P_{t_5}	0,9979	0,9962	0,9953	0,9933	0,9907	0,9871	0,9846	0,9804
M_5	0,055	0,073	0,083	0,098	0,116	0,136	0,149	0,168
P_{t_6} / P_{t_6}	0,9997	0,9995	0,9990	0,9985	0,9980	0,9973	0,9969	0,9961
M_6	0,020	0,026	0,038	0,046	0,053	0,063	0,066	0,074
$A_5 (m/s)$	362	362	362	362	362	362	362	362
$V_5 (m/s)$	19,91	26,42	30,04	35,47	41,99	49,23	53,94	60,81
$P_{t_5} - P_{t_c} / P_{t_5}$	$3,37 \cdot 10^{-3}$	$5,67 \cdot 10^{-3}$	$7,01 \cdot 10^{-3}$	$9,95 \cdot 10^{-3}$	$14 \cdot 10^{-3}$	$19,12 \cdot 10^{-3}$	$22,72 \cdot 10^{-3}$	$29,02 \cdot 10^{-3}$
$P_{t_5} - P_{t_c} / \frac{1}{2} \rho V_5^2$	0,147	0,141	0,135	0,138	0,139	0,139	0,138	0,140

CHAMBRE DE COMBUSTION

 $P_A = 759,7 \text{ mmHg}$ $T_A = 21,5^\circ\text{C}$

A TROUS MIXTES

DEBIT de GN constant = 7,987 g/s

ΔH_{GNCL} mm H ₂ O	50	50	50	50	50	50	50	50
ΔH_{air} mm H ₂ O	27	40	55	78	110	153	182	235
$P_{t_s \text{ rel}}$ mm H ₂ O	80	115	135	178	242	319	369	453
$P_{t_s \text{ rel}}$ mm H ₂ O	55	70	85	110	145	183	208	253
$P_{t_b \text{ rel}}$ mm H ₂ O	17	22	25	35	43	55	63	78
$P_{GN \text{ rel}}$ (bar)	9	9	9	9	9	9	9	9
$T^{\circ} \text{ air comp}$ (°C)	54	54	54	53	52	50	50	49
$T^{\circ} \text{ GN}$ (°C)	20	20	20	20	20	20	20	20
$T^{\circ} \text{ sortie}$ (°C)	1190	1000	900	780	680	420	380	320

DEPOUILLEMENT

CHAMBRE A TROUS MIXTES

G.N. = constante

$P_{G.N.C.P}$	bar absolu							
$T_{G.N.C.P}$	$^{\circ}\text{K}$							
$\rho_{G.N.C.P}$	kg/m^3							
$\dot{m}_{G.N.C.P}$	g/s							
$P_{G.N.C.C.}$	bar absolu	10	10	10	10	10	10	10
$T_{G.N.C.C.}$	$^{\circ}\text{K}$	293	293	293	293	293	293	293
$\rho_{G.N.C.C.}$	kg/m^3	7,756	7,756	7,756	7,756	7,756	7,756	7,756
$\dot{m}_{G.N.C.C.}$	g/s	7,987	7,987	7,987	7,987	7,987	7,987	7,987
T_{air}	$^{\circ}\text{K}$	327	327	327	326	325	323	322
ρ_{air}	kg/m^3	1,198	1,198	1,198	1,198	1,198	1,198	1,198
\dot{m}_{air}	g/s	507	617	724	862	1024	1208	1317
T_{sonde}	$^{\circ}\text{K}$							
T_{sortie}	$^{\circ}\text{K}$	1463	1273	1173	1053	953	693	653
$a'_{\text{CO}_2 r}$	%							
$a'_{\text{CO}_2 T}$	%							
a_{CO}	%							
a'_{O_2}	%							
Φ_g	$\frac{C/A}{P_A}$	0,242	0,199	0,169	0,142	0,120	0,102	0,093
Φ_L	$\frac{a'_{\text{CO}_2}}{P(\phi)}$							
η_c	$\frac{a'_{\text{CO}_2 r}}{a'_{\text{CO}_2 T}}$							

CHAMBRE DE COMBUSTION
A TROUS MIXTES

Débit G.N = C^t = 7,987 g/s
(à chaud)

P_{s5}/P_{t5}	0,9976	0,9957	0,9952	0,9935	0,9908	0,9872	0,9849	0,9817
δ_5	1,405	1,405	1,405	1,405	1,405	1,405	1,405	1,405
M_5	0,059	0,079	0,083	0,096	0,115	0,136	0,157	0,184
P_{s6}/P_{t6}	0,9983	0,9978	0,9976	0,9966	0,9958	0,9947	0,9939	0,9925
δ_6	1,294	1,307	1,315	1,324	1,333	1,361	1,366	1,370
T_6 ($^{\circ}$ K)	1463	1273	1173	1053	953	693	653	593
M_6	0,051	0,058	0,062	0,072	0,079	0,088	0,094	0,105
a_5 (m/s)	363,72	363,72	362,56	362,56	362,01	360,89	360,87	360,33
v_5 (m/s)	21,42	28,68	30,09	34,80	41,63	49,08	56,66	59,09
$\frac{P_{t5} - P_{t6}}{P_{t5}}$	$6 \cdot 10^{-3}$	$8,9 \cdot 10^{-3}$	$10,5 \cdot 10^{-3}$	$13,6 \cdot 10^{-3}$	$18,8 \cdot 10^{-3}$	$24,8 \cdot 10^{-3}$	$28,6 \cdot 10^{-3}$	$34,8 \cdot 10^{-3}$

CHAMBRE DE COMBUSTION

 $P_A = 759,7 \text{ mmHg}$ $T_A = 21,5^\circ\text{C}$

A TROUS MIXTES

DÉBIT d'air constant = 862 g/b

ΔH_{GNCC} mm H ₂ O	78	102	127	154	180	227
ΔH_{air} mm H ₂ O	78	78	78	78	78	78
$P_{t_5 \text{ rel}}$ mm H ₂ O	195	198	204	217	221	224
$P_{t_5 \text{ rel}}$ mm H ₂ O	125	130	135	140	150	155
$P_{t_6 \text{ rel}}$ mm H ₂ O	35	32	28	30	32	32
$P_{>N. \text{ rel}}$ (bar)	9	9	9	9	9	9
$T^\circ_{air \text{ comp}}$ (°C)	52	52	53	53	53	53
$T^\circ_{G.N.}$ (°C)	22	22	21	20	19	19
T°_{sortie} (°C)	700	900	970	1000	1030	1050

Depouillement

CHAMBRE DE COMBUSTION
ATROUS MIXTES

Débit d'air = $C_t = 862 \text{ g/s}$
(à chaud)

P_{s5}/P_{t5}	0,9933	0,9935	0,9934	0,9932	0,9932	0,9934
γ_5	1,405	1,405	1,405	1,405	1,405	1,405
M_5	0,098	0,096	0,097	0,099	0,099	0,097
P_{s6}/P_{t6}	0,9966	0,9969	0,9973	0,9971	0,9969	0,9969
γ_6	1,330	1,314	1,306	1,305	1,302	1,300
$T_6(^{\circ}\text{K})$	973	1173	1243	1273	1303	1323
M_6	0,072	0,069	0,065	0,067	0,069	0,069
$a_5 (\text{m/s})$	362	362	362,56	362,56	362,56	362,56
$v_5 (\text{m/s})$	35,47	34,75	35,17	35,89	35,89	35,17
$\frac{P_{t5} - P_{t6}}{P_{t5}}$	$15,2 \cdot 10^{-3}$	$15,8 \cdot 10^{-3}$	$16,7 \cdot 10^{-3}$	$17,7 \cdot 10^{-3}$	$17,9 \cdot 10^{-3}$	$18,2 \cdot 10^{-3}$

$$10^3 \frac{P_{t5} - P_{c6}}{P_{t5}}$$

$$\frac{P_{t5} - P_{c6}}{P_{t5}} = f(\text{Mach entrée C.C})$$

25.

Perte de charge (à chaud)

$$\dot{m}_{GN} = 7,987 \text{ g/s} = \text{cte}$$

Perte de charge aérodynamique (à froid)

20.

Perte de charge (à chaud)

$$(m_{air} = \text{cte} = 862 \text{ g/s})$$

15.

CHAMBRE DE COMBUSTION

A TROUS MIXTES

0

0

0,05

0,10

0,15

0,20

M₅

15

10

5

$P_{t5} - P_{t6}$
 $\frac{1}{2} \rho v_s^2$

0,2

$$\frac{\Delta P}{\frac{1}{2} \rho v_s^2} = f(\text{Mach. entrée cc})$$

Perte de charge aérodynamique



0,1

CHAMBRE DE COMBUSTION

A TROUS MIXTES

0

0

0,05

10

0,15

0,20

M

10^3 Pa

$$\Delta P_{th} = f(\text{Mach - entrée c.c.})$$

Perte de charge thermique

$$(m_{GN} = c^* = 7,987 \text{ g/s})$$

CHAMBRE DE COMBUSTION

A TROIS MIXTES

6

20

15

4

3

2

1

0

5

0,05

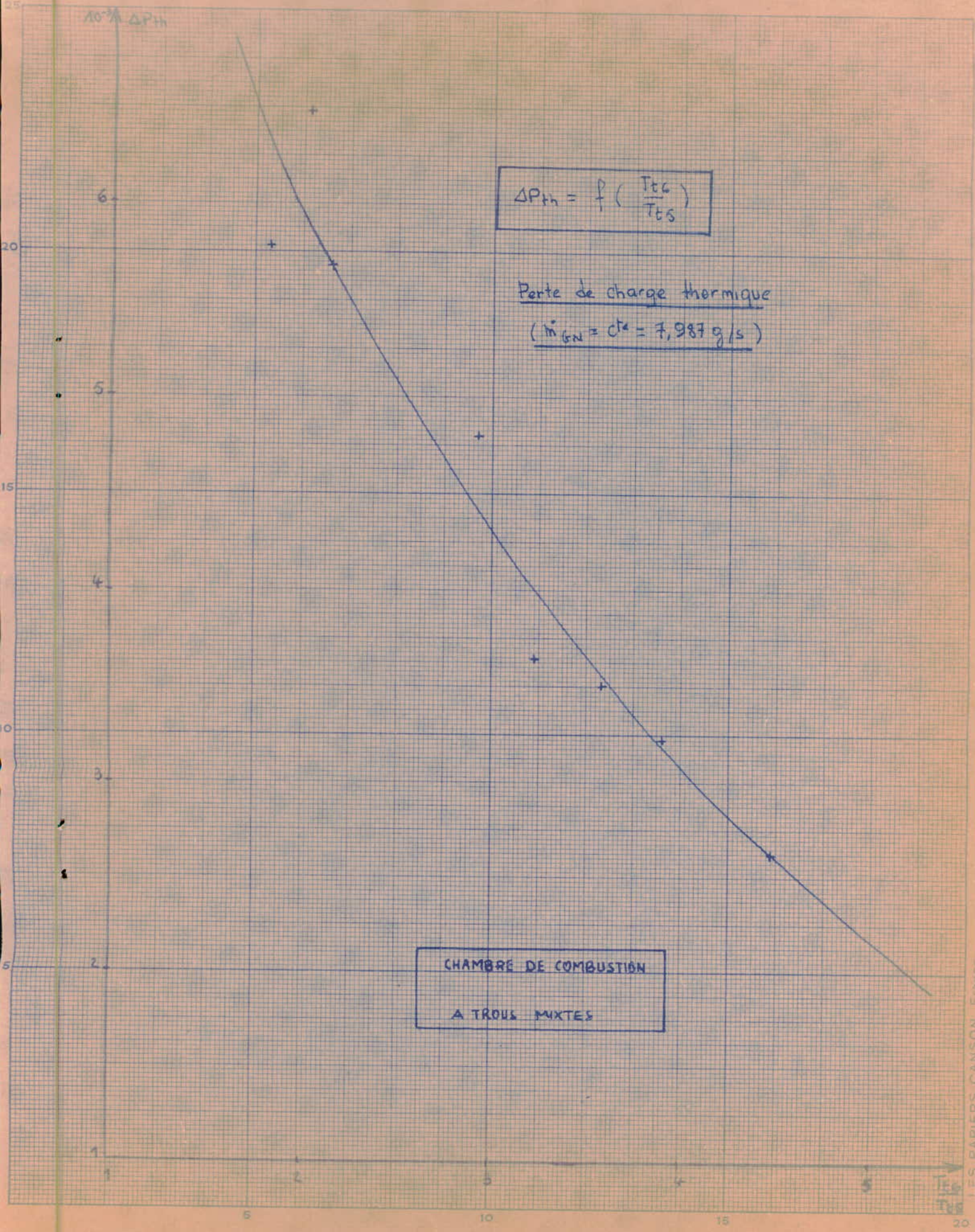
0,10

0,15

0,20

M₁

$10^{-3} \Delta P_{th}$



ΔP_{th}

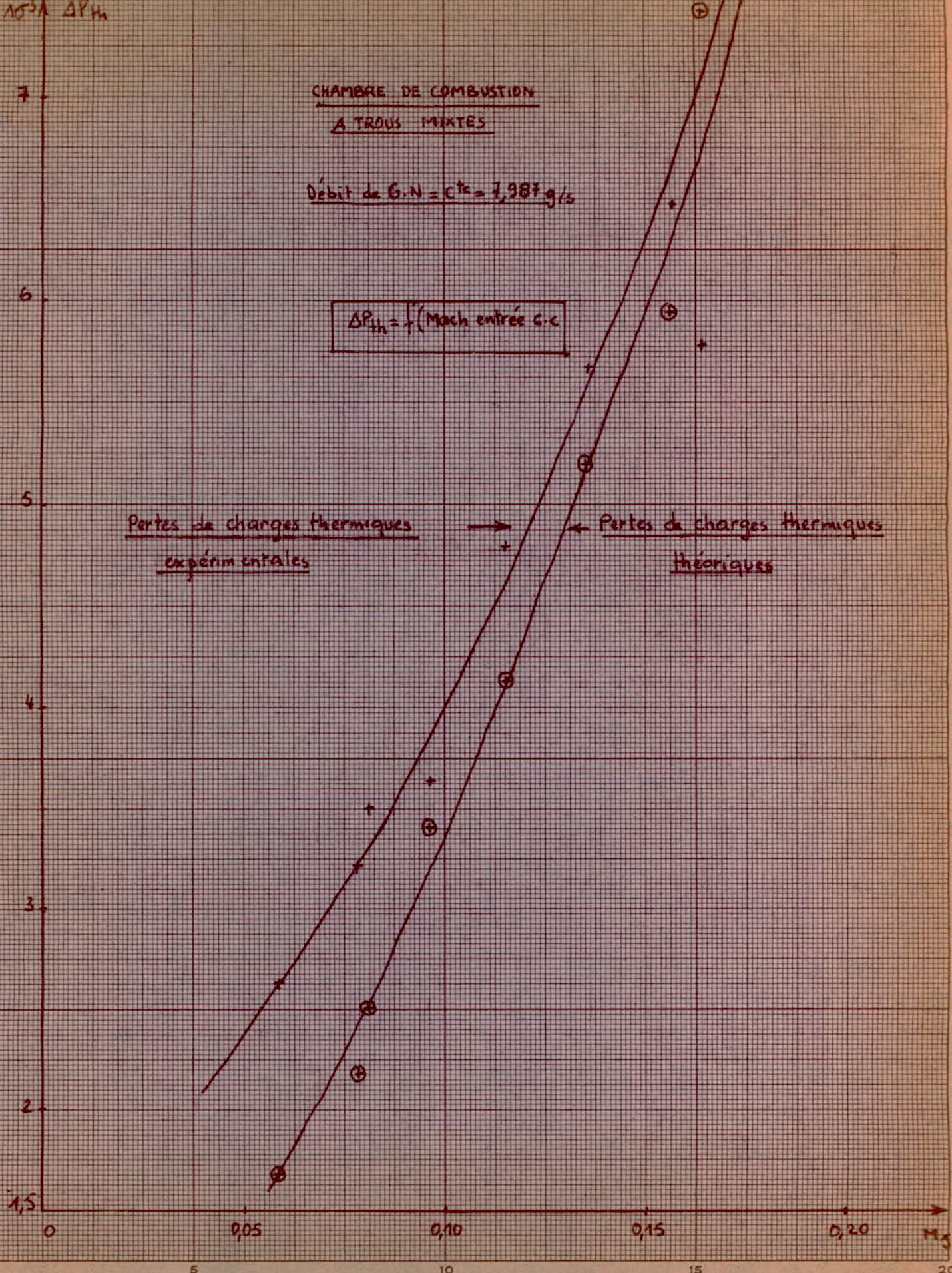
CHAMBRE DE COMBUSTION
A TROUS MIXTES

$$\text{Débit de G.N} = C^* c = 7,987 \text{ g/s}$$

$$\Delta P_{th} = f(Mach \text{ entrée C.C})$$

Pertes de charges thermiques
expérimentales

→ ← Pertes de charges thermiques
théoriques



II CONCLUSION

=====

C O N C L U S I O N

Comparaison des deux chambres à trous circulaires et à trous mixtes :

Les caractéristiques à la sortie de la chambre étant les plus déterminants, la comparaison sera faite en général pour cette section .

1° / Du point de vue rendement de combustion :

A la sortie on a obtenu les rendements moyens suivants :

- chambre de combustion à trous circulaires :

$$\eta_b = 0,97$$

- chambre de combustion à trous mixtes :

$$\eta_b = 0,985$$

2° / Du point de vue températures à la sortie :

- chambre de combustion à trous circulaires :

$$T_{max} = 670^{\circ}\text{C}$$

$$T_{MOY} = 530^{\circ}\text{C}$$

- chambre de combustion à trous mixtes :

$$T_{max} = 860^{\circ}\text{C}$$

$$T_{moy} = 548^{\circ}\text{C}$$

N.B/ La T° moyenne pour la chambre de combustion à trous mixtes a été toujours supérieure à celle de l'autre chambre pratiquement pour toutes les sections considérées .

3° / Du point de vue homogénéité de la T° à la sortie :

- chambre de combustion à trous circulaires :

$$\text{degré d'homogénéité} = 4/5$$

- chambre de combustion à trous mixtes :

$$\text{degré d'homogénéité} = 5/6$$

On fait remarquer que l'homogénéité est une caractéristique de la chambre d'une importance capitale .

4° / Du point de vue pertes de charges :

On remarque que les pertes de charges de la chambre à trous circulaires sont moindres que celles de la chambre à trous mixtes quoique relativement négligeables dans les deux cas , de l'ordre de 3% au maximum ; l'explication vient du fait que la section des trous sur la surface latérale du premier tube de flamme est supérieure à celle du second, ce qui augmente les frottements pour ce dernier .

Des valeurs expérimentales ci dessus , on pourrait dire que la chambre à trous mixtes :

- donne une meilleure combustion
- permet l'obtention d'une température de sortie supérieure (a-trement dit une poussée plus grande)
- assure une homogénéité de température plus complète, conséquence d'une meilleure dilution ; cette homogénéité permet alors une répartition plus uniforme des contraintes sur les aubes de la turbine , favorable à sa résistance .

Le rendement de combustion , la température et l'homogénéité plus élevés pour la chambre à trous mixtes sont le résultat d'une bonne répartition des trous et de leurs formes .

En conclusion, la chambre de combustion à trous mixtes s'avère plus avantageuse que celle à trous circulaires (du moins pour ce régime arbitrairement choisi.) .

A N N E X E I
-o-o-o-o-

Calcul des pertes thermiques dans la chambre de combustion:

Les gaz chauds traversant la chambre de combustion cèdent une partie de leur chaleur par convection forcée à la paroi interne ; cette chaleur est transmise par conduction à la paroi extérieure pour se transmettre à l'air ambiant essentiellement par convection naturelle (libre)

Vu que les flux de chaleur par convection forcée, par conduction et par convection naturelle sont égaux on utilisera pour nos calculs le dernier cas à savoir que : le flux par convection naturelle qui vaut

$$\varphi = h_{\text{air}} \cdot S_e (T_{p2} - T_{\text{air}})$$

φ en Kcal/h

h_{air} en $\text{Kcal}/\text{m}^2 \cdot \text{h} \cdot \bullet$

T_{air} : température de l'air ambiant

T_{p2} : température de la paroi extérieure

S_e : surface latérale de la chambre de combustion

h_{air} est le coefficient de transfert de chaleur par convection naturelle

Son calcul est donné par la formule suivante :

$$\frac{h_{\text{air}}}{T^{0,25}} = \frac{5,3}{D^{0,25}}$$

d'où

$$h_{\text{air}} = 5,3 \left(\frac{T}{D} \right)^{0,25}$$

avec

$$D (\text{mm}) = \text{diamètre extérieur de la chambre} = 236 \text{ mm}$$

$$T = T_{p2} - T_{\text{air}} = 90^\circ - 13^\circ = 77^\circ$$

90° étant une température approchée de la paroi extérieure

h_{air} vaudra alors :

$$h_{\text{air}} = 5,3 \left(\frac{77}{236} \right)^{0,25} = 4 \text{ Kcal}/\text{h} \cdot \text{m}^2 \cdot \bullet$$

$$S_G = D \cdot l$$

l = longueur de la chambre où a lieu la convection naturelle
= 490 mm

$$S_e = 3,14 \times 0,236 \times 0,49 = 0,363 \text{ m}^2$$

Le flux de chaleur vaudra alors :

$$\varphi = 4 \cdot 0,363 \cdot 77 = III,837$$

$$\boxed{\varphi = III,837 \text{ Kcal/h}}$$

Les pertes thermiques sont effectivement négligeables

N.B/

Ne pas confondre φ (richesse) avec ce φ (flux de chaleur)

ANNEXE II

=o=o=o=o=

Détermination du Mach théorique M_5 , au niveau de la zone primaire:

Les équations de Raleigh donnent:

$$\frac{T_{t6}}{T_{t5}} = \frac{\left(I + \frac{M_5^2}{2} \right) \cdot M_6^2}{\left(I + \frac{M_6^2}{2} \right)^2 \cdot M_5^2}, \quad \frac{I + \left(\frac{M_6^2 - I}{2} \right) \cdot M_6^2}{I + \left(\frac{M_6^2 - I}{2} \right) \cdot M_5^2},$$

A partir du nombre de Mach de sortie, et du rapport d'élévation de température, déterminés par l'expérience on déduit de l'équation précédente l'expression suivante donnant M_5 :

$$\frac{I - I}{2} - \frac{T_{t6}}{T_{t5}} - \frac{I}{A} - 2 \cdot M_5^4 + \frac{T_{t6}}{T_{t5} \cdot A} - 2 \cdot M_5^2 - I = 0$$

avec

$$A = \frac{M_6^2 \left(I + \frac{M_6^2 - I}{2} \cdot M_6^2 \right)}{\left(I + \frac{M_6^2}{2} \right)^2}$$

$$= I,405$$

$$= f(T_{t6}, \varphi_{\text{locale}})$$

$$T_{t5} = 323^\circ\text{K} \quad (\text{T° d'entrée de la chambre de combustion})$$

D'où le tableau suivant :

a- C-C à trous circulaires :

M_5	0,033	0,041	0,046	0,056	0,064	0,076	0,082	0,094	
-------	-------	-------	-------	-------	-------	-------	-------	-------	--

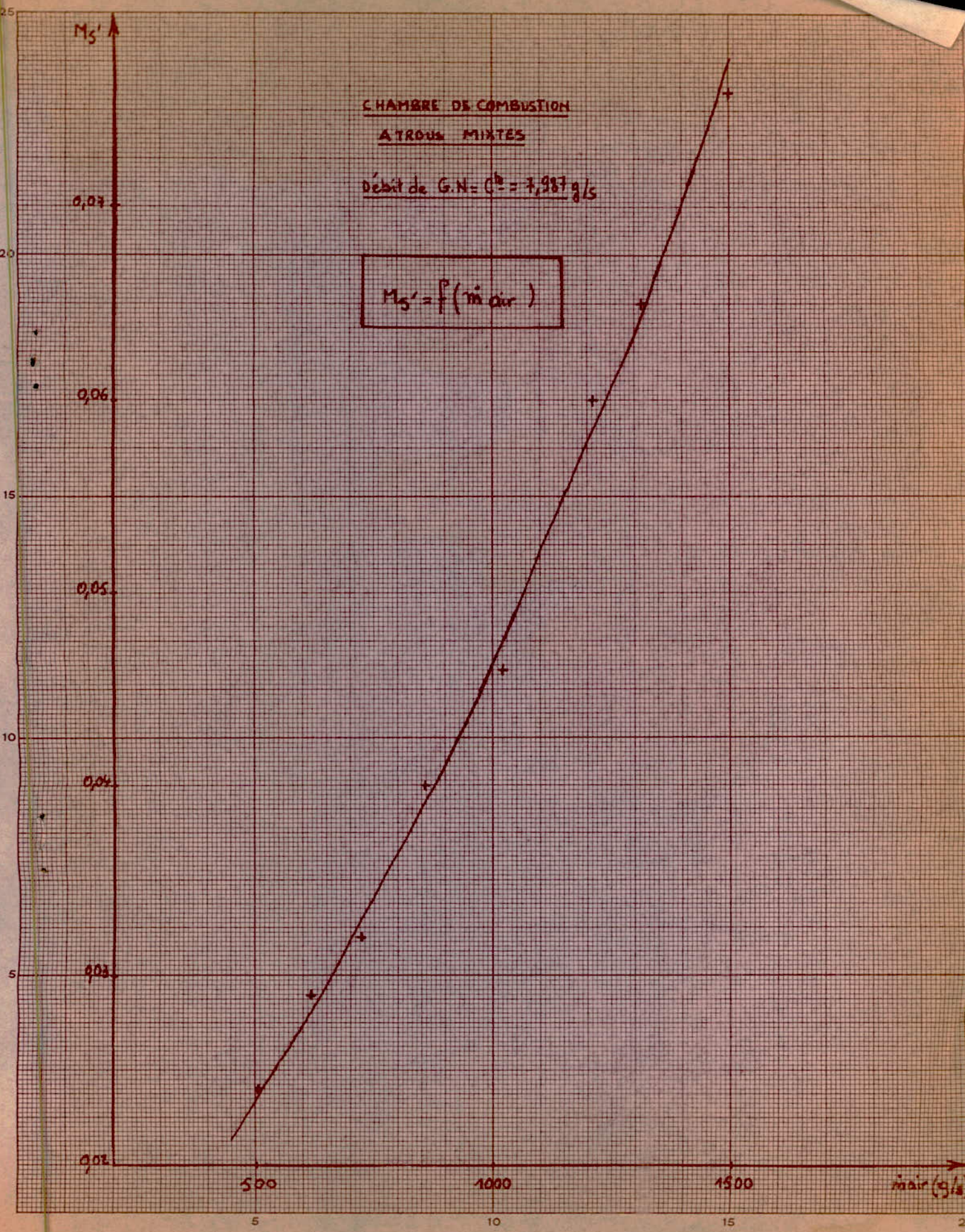
Remarque: la courbe $M_5 = f(m_{\text{air}})$ montre que M_5 est pratiquement une fonction linéaire du débit d'air.

b- C-C à trous mixtes:

M_5	0,024	0,029	0,032	0,04	0,046	0,06	0,065	0,076
-------	-------	-------	-------	------	-------	------	-------	-------

De même M_5 est approximativement une fonction linéaire du débit d'air (voir courbe $M_5 = f(m_{\text{air}})$.) .

L'approximation $M_5 = 0$ faite antérieurement est justifiée par ces résultats.



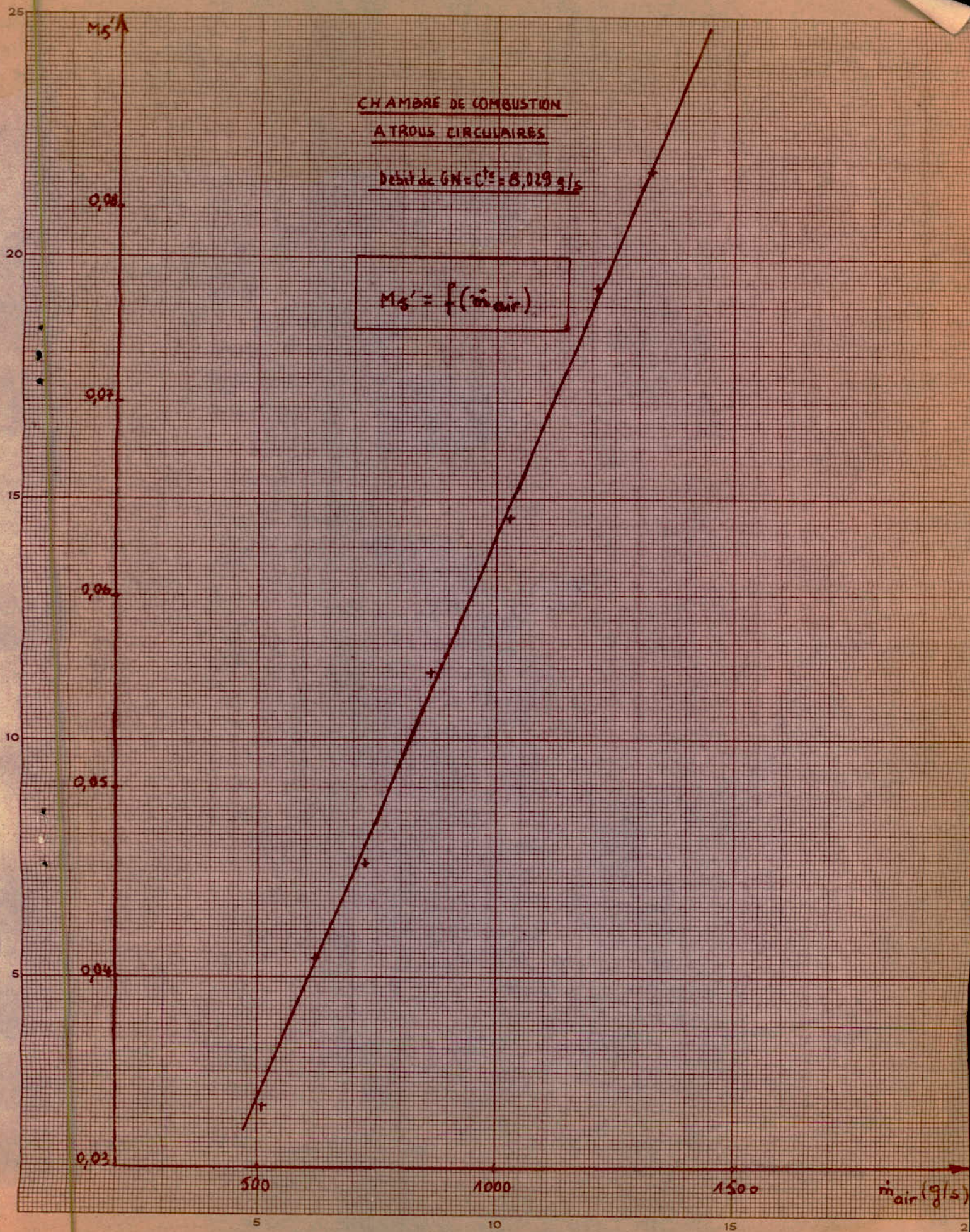
$M_{S'}$

CHAMBRE DE COMBUSTION

A TROUS CIRCONVIRES

$$\text{Débit de GN} = C_1 = 6,029 \text{ g/s}$$

$$M_{S'} = f(m_{\text{air}})$$



BIBLIOGRAPHIE
-O-O-O-O-O-

- Le turboréacteur et autres moteurs à réaction

A. KALNIN - M. LABORIE

-Pratique de la mesure et du contrôle dans l'industrie . Tome 3

J. BURTON

-Recherche sur la combustion d'un mélange d'hydrocarbures

J. RAPPENEAU

-Document de la SNECMA

-Transmission de la chaleur

MAC. ADAMS

-Revue de l'institut français du pétrole

-Revue : Entropie

-Cours de M^r MATTON

- Fluides compressibles
- Combustion
- Notion sur l'aérothermodynamique
- Le turboréacteur

-Fusées et astronautique

LAROUSSE

-Thèses de fin d'études

- Analyse de gaz de combustion (74)
- Méthodes de mesures et essais sur chambre de combustion (73)
- Etude théorique et expérimentale sur chambre de combustion - G-N et G-N-L - (75)

